

สำนักหอสมุด มหาวิทยาลัยบูรพา

๑ ถนนสุข อ.เมือง จ.ชลบุรี 20131

การศึกษาฤทธิ์ต้านเซลล์มะเร็งของสารสกัดและสารบริสุทธิ์ของต้นสามพันตา

Cytotoxicity of Crude Extracts and Pure Compounds of *Cleistanthus gracilis* Hook.J.

วารี เนื่องจากนงค์

พรทิพา พิชา

สุชนุช อ่อนดี

จรัญญา งามคำ

4 พ.ศ. 2552

261224 (PKD20)

การวิจัยได้รับทุนอุดหนุนประเภทเงินรายได้ของคณะวิทยาศาสตร์ มหาวิทยาลัยบูรพา

ประจำปี 2547

ผู้มีอำนาจ

20 พ.ศ. 2552

บทคัดย่อ

การสกัดสมุนไพรสามพันตากจากส่วนราก ลำต้น และใบ ใช้ตัวทำละลาย 3 ชนิด คือ เอกลเซน ไดคลอโรเมเทน และเอทานอล ได้ส่วนสกัดทั้งหมด 9 ส่วนสกัด นำส่วนสกัดทั้งหมดไปทดสอบการออกฤทธิ์ต้านเซลล์มะเร็งลิวโคเมีย (P388) พบว่า ส่วนสกัด ไดคลอโรเมเทนจากราก ส่วนสกัดเอกลเซนจากใบ ส่วนสกัดเอทานอลจากราก และส่วนสกัดเอทานอลจากใบ สามารถออกฤทธิ์ต้านเซลล์มะเร็งได้น่าสนใจ ($ED_{50} < 30 \mu\text{g/ml}$) จึงนำส่วนสกัดทั้ง 4 นี้ไปแยกสารบริสุทธิ์ ได้สารบริสุทธิ์ 2 ตัว คือ Lupeol และ Stigmasterol นำสารบริสุทธิ์ทั้ง 2 ตัวนี้ไปศึกษาทดสอบการออกฤทธิ์ต้านเซลล์มะเร็งอีกครั้ง พบว่า สาร Lupenol มีฤทธิ์ยับยั้งการเจริญของเซลล์มะเร็งที่ ED_{50} ประมาณ $25 \mu\text{g/ml}$ แต่ไม่พบฤทธิ์ยับยั้งเซลล์มะเร็งของ Stigmasterol ซึ่งคล้ายไม่ได้ในตัวทำละลายที่ใช้ทดสอบ

สารบัญ

บทที่	หน้า
1 บทนำ	1
1.1 วัตถุประสงค์ของการวิจัย	1
1.2 ประโยชน์ที่คาดว่าจะได้รับ	2
1.3 ขอบเขตของการวิจัย	2
2 ทฤษฎีและงานวิจัยที่เกี่ยวข้อง	
2.1 ผลิตภัณฑ์ธรรมชาติ	2
2.2 การสกัดสารสำคัญจากพืช	6
2.3 ทฤษฎีโครมาโทกราฟี	6
2.4 การตกผลึก	9
2.5 งานวิจัยที่เกี่ยวข้อง	11
3 วิธีการทดลอง	
3.1 สารเคมีและอุปกรณ์	16
3.2 การเก็บและเตรียมสารตัวอย่าง	16
3.3 การทดสอบการออกฤทธิ์ด้านเซลล์มะเร็งเม็ดเลือดขาว	18
3.4 การแยกสารบริสุทธิ์จากส่วนสกัดที่ active	20
4 ผลการทดลอง	35
5 สรุป อภิปรายผลการทดลอง และข้อเสนอแนะ	
5.1 สรุปและอภิปรายผลการทดลอง	56
5.2 ข้อเสนอแนะ	57
บรรณานุกรม	58

สารบัญตาราง

ตารางที่	หน้า
4.1 น้ำหนักส่วนสกัดต่าง ๆ ของต้นสามพันตา	35
4.2 ผลการทดสอบความเป็นพิษต่อเซลล์มะเร็งเม็ดเลือดขาว (P388) ของสารสกัดจากต้นสามพันตา	36
4.3 น้ำหนัก ลักษณะของแต่ละ fraction ของ CG-RT-CH	37
4.4 น้ำหนัก ลักษณะของ fraction ที่ 2	38
4.5 น้ำหนัก ลักษณะของ fraction ที่ 2.1	38
4.6 น้ำหนัก ลักษณะของ fraction ที่ 2.5	39
4.7 น้ำหนัก ลักษณะของ fraction ที่ 3	39
4.8 น้ำหนัก ลักษณะของ fraction ที่ 3.4	40
4.9 น้ำหนัก ลักษณะของ fraction ที่ 3.5	40
4.10 น้ำหนัก ลักษณะของ fraction ที่ 3.7	40
4.11 น้ำหนัก ลักษณะของ fraction ที่ 8	41
4.12 น้ำหนัก ลักษณะของแต่ละ fraction ของ CG-LE-HX	42
4.13 น้ำหนัก ลักษณะของ fraction ที่ 1	42
4.14 น้ำหนัก ลักษณะของ fraction ที่ 2	43
4.15 น้ำหนัก ลักษณะของ fraction ที่ 2.1	43
4.16 น้ำหนัก ลักษณะของแต่ละ fraction ของ CG-RT-Et	44
4.17 น้ำหนัก ลักษณะของ fraction ที่ 1	44
4.18 น้ำหนัก ลักษณะของ fraction ที่ 2	45
4.19 น้ำหนัก ลักษณะของ fraction ที่ 3	45
4.20 น้ำหนัก ลักษณะของ fraction ที่ 4	45
4.21 น้ำหนัก ลักษณะของ fraction ที่ 5	45
4.22 น้ำหนัก ลักษณะของ fraction ที่ 6	46

สารบัญตาราง (ต่อ)

ตารางที่	หน้า
4.23 น้ำหนัก ลักษณะของ fraction ที่ 7	46
4.24 น้ำหนัก ลักษณะของแต่ละ fraction ของ CG-LE-Et	47
4.25 น้ำหนัก ลักษณะของ fraction ที่ 2	47
4.26 น้ำหนัก ลักษณะของ fraction ที่ 3	48
4.27 น้ำหนัก ลักษณะของ fraction ที่ 4	48
4.28 ข้อมูลจาก IR- spectra ของ CG-1	49
4.29 ข้อมูลจาก $^1\text{H-NMR}$ spectra ของ CG-1	50
4.30 ข้อมูลจาก $^{13}\text{C-NMR}$ spectra ของ CG-1	51
4.31 ข้อมูลจาก IR- spectra ของ CG-2	52
4.32 ข้อมูลจาก $^1\text{H-NMR}$ spectra ของ CG-2	53
4.33 ข้อมูลจาก $^1\text{H-NMR}$ spectra ของ CG-2	54
4.34 ผลการทดสอบความเป็นพิษต่อเซลล์มะเร็งเม็ดเดือดขาว (P388) ของสารสกัด บริสุทธิ์จากต้นสามพันตาก	55

สารบัญรูป

รูปที่	หน้า
3.1 ส่วนสกัดต่างๆ ของต้นสามพันตาก	17
3.2 ขั้นตอนการแยกสารบริสุทธิ์ของ CG-RT-CH	23
3.3 ขั้นตอนการแยกสารบริสุทธิ์ของ CG-RT-CH Fraction ที่ 2	24
3.4 ขั้นตอนการแยกสารบริสุทธิ์ของ CG-RT-CH Fraction ที่ 3	25
3.5 ขั้นตอนการแยกสารบริสุทธิ์ของ CG-RT-CH Fraction ที่ 8	26
3.6 ขั้นตอนการแยกสารบริสุทธิ์ของ CG-LE-HX	27
3.7 ขั้นตอนการแยกสารบริสุทธิ์ของ CG-LE-HX Fraction ที่ 2.1	28
3.8 ขั้นตอนการแยกสารบริสุทธิ์ของ CG-RT-Et	29
3.9 ขั้นตอนการแยกสารบริสุทธิ์ของ CG-RT-Et Fraction ที่ 1	30
3.10 ขั้นตอนการแยกสารบริสุทธิ์ของ CG-RT-Et Fraction ที่ 2	30
3.11 ขั้นตอนการแยกสารบริสุทธิ์ของ CG-RT-Et Fraction ที่ 3	31
3.12 ขั้นตอนการแยกสารบริสุทธิ์ของ CG-RT-Et Fraction ที่ 4	31
3.13 ขั้นตอนการแยกสารบริสุทธิ์ของ CG-RT-Et Fraction ที่ 5	32
3.14 ขั้นตอนการแยกสารบริสุทธิ์ของ CG-RT-Et Fraction ที่ 6	32
3.15 ขั้นตอนการแยกสารบริสุทธิ์ของ CG-RT-Et Fraction ที่ 7	33
3.16 ขั้นตอนการแยกสารบริสุทธิ์ของ CG-LE-Et	34

บทที่ 1

บทนำ

ประเทศไทยเป็นประเทศหนึ่งที่มีความหลากหลายทางชีวภาพ โดยเฉพาะพืชสมุนไพร ความหลากหลายทางวัฒนธรรม และภูมิปัญญาพื้นบ้านโดยเนพะการใช้สมุนไพรบำบัดโรคภัย การใช้เข็ม ความรู้จำนวนมากที่เกี่ยวโยงกับความหลากหลายเหล่านี้กำลังจะสูญหายไป พืชสมุนไพรจำนวนมากกำลังจะสูญพันธ์ ผู้รู้จำนวนมากได้จากไปโดยไม่มีการถ่ายทอด และปราศจากการศึกษาอย่างต่อเนื่องเป็นระบบและเป็นวิทยาศาสตร์ความรู้เหล่านี้ที่ต่างชาติได้เห็นความสำคัญ และได้เข้ามาศึกษาหาความรู้และเก็บตัวอย่างไปศึกษาต่อ ซึ่งที่ประสบความสำเร็จก็มีตัวอย่างให้เห็น และที่กำลังดำเนินการศึกษาวิจัยอยู่ก็มีจำนวนมาก เส้นทางสู่ประเทศไทยของนักวิจัยต่างชาติตั้งค่าเนินอยู่ในรูปแบบที่ผลิตเพลงมากขึ้น จึงควรส่งเสริมการศึกษา และวิจัยองค์ความรู้ด้านต่างๆ ที่เกี่ยวข้องกับพืชสมุนไพร เนื่องจากมีราคาถูกและมีผลข้างเคียงน้อยกว่ายาแผนปัจจุบัน อีกทั้งในปัจจุบันสมุนไพรกำลังเป็นพืชเศรษฐกิจที่สำคัญอย่างหนึ่งของประเทศไทย ซึ่งตลาดต่างประเทศมีความต้องการสูงมากโดยเฉพาะอย่างยิ่งประเทศไทย สหรัฐอเมริกา และประเทศต่างๆ ในทวีปยุโรป ที่สมุนไพรส่วนมากไม่สามารถทำการผลิตได้ในประเทศเหล่านี้

ต้นสามพันตากหรือ *Cleistanthus gracilis* ก็เป็นสมุนไพรอีกชนิดหนึ่ง ซึ่งอยู่ในสกุล Euphorbiaceae ที่เคยมีผู้ทำการศึกษาวิจัยพบว่า มีสารบางชนิดที่มีคุณสมบัติต้านมะเร็งได้ เช่น ในต้น *Cleistanthus collinus*⁽³⁾ พนสาร *Cleistanthin A* ซึ่งมีคุณสมบัติทำลายเนื้องอกได้โดยไม่มีผลข้างเคียง ต่อร่างกายหรือ *Cleistanthin B* ที่มีผลยับยั้งการเจริญเติบโตของเซลล์มะเร็งซึ่งได้ทำการทดลองในหมูแฮมเตอร์ ดังนี้เราจึงนำต้นสามพันตากซึ่งอยู่ในสกุลดังกล่าว มาทำการศึกษาเพื่อหาผลิตภัณฑ์ธรรมชาติที่มีอยู่ในต้นสามพันตากเพื่อเป็นประโยชน์และพัฒนาการแพทย์แผนปัจจุบัน

1.1 วัตถุประสงค์ของการวิจัย

1. เพื่อสกัดสารจากส่วนต่างๆ ของต้นสามพันตากด้วยทำละลายอินทรี
2. เพื่อทดสอบการออกฤทธิ์ต้านเซลล์มะเร็งของส่วนสกัด
3. เพื่อทำการแยกหาผลิตภัณฑ์ธรรมชาติที่บริสุทธิ์
4. เพื่อหาสูตรโครงสร้างและพิสูจน์เอกลักษณ์ของสารบริสุทธิ์โดยวิธีสเปกโตรสโคป
5. เพื่อนำสารบริสุทธิ์ไปทดสอบการออกฤทธิ์ต้านเซลล์มะเร็ง
6. เพื่อนำข้อมูลเบื้องต้นที่ได้ทั้งหมดไปบูรณาการให้เกิดการวิจัยและพัฒนาหาสารต้านมะเร็งจากสมุนไพรสามพันตาก

1.2 ประโยชน์ที่คาดว่าจะได้รับ

1. จะได้สารบริสุทธิ์ใหม่ที่ยังไม่เคยค้นพบมาก่อน
2. จะได้สารออกฤทธิ์ต้านเซลล์มะเร็งตัวใหม่
3. จะนำไปสู่การค้นพบยาต้านเซลล์มะเร็งชนิดใหม่
4. เพื่อศึกษาความสัมพันธ์การออกฤทธิ์ต้านเซลล์มะเร็งของส่วนสกัดเดิมกับสารบริสุทธิ์ที่ได้
5. จะนำไปสู่การอนุรักษ์พืชสมุนไพรที่มีคุณค่าของไทยและการนำไปใช้ประโยชน์

1.3 ขอบเขตของการวิจัย

1. ทำการสกัดจากส่วนราก ลำต้น และใบของต้นสามพันตากวบตัวทำละลายอินทรีย์ 3 ชนิด คือ เสกเซน ไดคลอโรเมเทน และเอทานอล
2. นำส่วนสกัดทึ้งหนึ่งรวม 9 ส่วน ไปทดสอบการออกฤทธิ์ต้านเซลล์มะเร็ง
3. นำส่วนสกัดที่ออกฤทธิ์ต้านเซลล์มะเร็งสูงสุดไปทำให้น้ำบริสุทธิ์
4. หาสูตร โครงสร้างและพิสูจน์เอกลักษณ์ของสารบริสุทธิ์โดยวิธีสเปกโตรสโคปี
5. นำสารบริสุทธิ์ที่ได้ทดสอบการออกฤทธิ์ต้านเซลล์มะเร็ง
6. ศึกษาการออกฤทธิ์ต้านเซลล์มะเร็งของส่วนสกัดและสารบริสุทธิ์จะใช้เซลล์มะเร็งลิวคีเมีย

;P388 (Mouse Lymphocytic Leukemia)

บทที่ 2

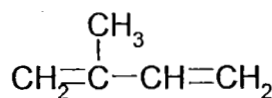
พฤกษ์และงานวิจัยที่เกี่ยวข้อง

2.1 พลิตกัณฑ์ธรรมชาติ⁽²⁾

คำว่า “พลิตกัณฑ์ธรรมชาติ” นี้ หมายถึงสารที่เกิดในธรรมชาติ เช่น กรณีวัสดุอิฐ พลิตกัณฑ์ธรรมชาติส่วนใหญ่มีสูตรโครงสร้างเชิงซ้อนและมีหมู่ฟังก์ชันหลากหลายหมู่อยู่ในโมเลกุล พลิตกัณฑ์ธรรมชาติจำนวนมากแสดงถึงมันตภาพทางชีวภาพ และทางสรีรวิทยา การจำแนกประเภทของพลิตกัณฑ์ธรรมชาติไปเป็นสารประกอบกลุ่มใดเฉพาะนั้นเป็นสิ่งสำคัญ ทั้งนี้ เพราะโมเลกุลของพลิตกัณฑ์ธรรมชาติมีโครงสร้างเชิงซ้อนหลายหมู่ฟังก์ชันนั้น อย่างไรก็ตามเป็นไปได้ที่จะแบ่งพลิตกัณฑ์ธรรมชาติให้เข้าไปอยู่ในกลุ่มต่างๆ โดยยังโครงร่างหลักของโครงสร้างโมเลกุลเป็นบรรทัดฐาน โดยเกณฑ์ดังกล่าวพลิตกัณฑ์ธรรมชาติจึงแบ่งเป็นสองหมู่ใหญ่ หมู่แรกเป็นพลิตกัณฑ์ธรรมชาติที่ไม่มีโมเลกุลโครงสร้างหลักที่มีเฉพาะสารบอนอะตอนอยู่ในรูปแบบเป็นโซ่อิเล็กทรอนิกส์ เช่น เทอร์พิน (terpenes) และสเตอโรยด์ (steroids) ส่วนอีกกลุ่มเป็นพลิตกัณฑ์ธรรมชาติที่มีวงแหวนเขตเตอร์ไซค์ลิกหรือวงแหวนที่มีออกซิเจน ในโครงสร้าง หรือซัลเฟอร์อะตอนอยู่ด้วย

2.1.1 เทอร์พิน

เทอร์พินเป็นหมู่ใหญ่ของพลิตกัณฑ์ธรรมชาติ ในโมเลกุลจะมีหน่วยไอโซพรีน (isoprene) ซึ่งเป็นส่วนประกอบของยางธรรมชาติรวมกันอยู่ เทอร์พินทั้งหมดจะมีหน่วยของไอโซพรีนหนึ่งหน่วยหรือมากกว่านั้นขึ้นไป เป็นโครงร่างบานตอน



isoprene

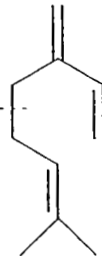
ไอโซพรีนไม่พบเป็นอิสระในธรรมชาติและไม่เป็นตัวนำไปสู่การเกิดเทอร์พินโดยชีวภาพ แม้ว่าไอโซพรีนจะเป็นส่วนหนึ่งของหน่วยโครงสร้างโมเลกุลก็ตาม

เทอร์พินเป็นส่วนประกอบที่ทำให้เกิดมิกลินหอมในพืช น้ำมันหลาหยนิดที่เราคุ้นเคยนี้เป็นเทอร์พิน บางชนิดเป็นน้ำหอม เป็นยา เป็นตัวทำละลาย คำว่าเทอร์พินมาจาก trepentin ซึ่งเป็นคำภาษาจาก turpentine

2.1.2 月中เทอร์พิน

เทอร์พินเชิงเดียวหรือ月中เทอร์พิน เป็นไดเมอร์ของไอโซพรีน เป็นสารประกอบไม่อินตัว มีสูตรโมเลกุลพื้นฐานเป็น $\text{C}_{10}\text{H}_{16}$ ประกอบด้วยหน่วยไอโซพรีนห้าครั้งบอนส่องหน่วยซึ่งตามปกติจะเชื่อมโยงกันเข้าหากันที่คาร์บอนหนึ่งและสี่

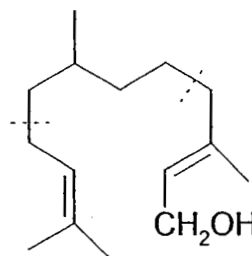
มอโนเทอร์พีนส่วนใหญ่เป็นสารประกอบระบบทะยาและเป็นส่วนประกอบของน้ำมันหอมระเหย (essential oil) ในพืชน้ำมันเหล่านี้ให้กลิ่นหรือรสชาติของพืช เช่น ไมร์เซน (myrcene) ได้จาก bayberry wax หรือ bay oil หน่วยไอโซพรินเดตจะหน่วยในโมเลกุลจะแสดงให้เห็นเป็นเส้นประทับนี้เพื่อให้เห็นหน่วยของไอโซพรินต่อ กันเข้าเป็นพันธะ



myrcene

2.1.3 เซสคิวเทอร์พีน

เซสคิวเทอร์พีน (sesquiterpenes) ประกอบด้วยหน่วยไอโซพรินสามหน่วยเป็นสารประกอบ C_{15} มีโครงสร้างแปรผัน ได้มาก ตัวอย่างเช่น ฟาร์เนซอล (farnesol) เป็นแอลกอฮอล์อะไซคลิกแยกได้จากน้ำมัน citronella มีกลิ่นคล้ายดอกลิลี่ตามหุบเขา เป็นอินเทอร์มีเดียตที่สำคัญในการสังเคราะห์ไตรเทอร์พีน และสเตอโรยด์



farnesol

2.1.4 ไดเทอร์พีนและไตรเทอร์พีน

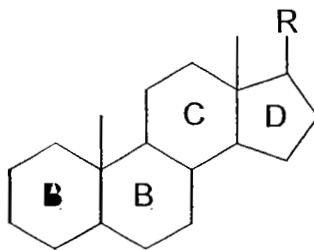
ไดเทอร์พีน (diterpene) เป็นสารประกอบที่มีไอโซพรินสี่หน่วย มีการบูนอะตอน 20 อะตอน ส่วนไตรเทอร์พีน (triterpene) เป็นสารประกอบที่มีการบูนอะตอน 30 อะตอน หรือประกอบด้วยไอโซพรินหกหน่วย

ตัวอย่างของไดเทอร์พีน ไดเก๊ วิตามินเอ กรดอะบีติก (abietic acid) หรือยางสน (pine resin) ซึ่งได้จากส่วนที่เหลือของน้ำมันสน

ไตรเทอเรพินที่สำคัญได้แก่ ซควาเลน (squalene) และลาโนโซเทอโรล (lanosterol) ซควาเลนได้แก่ น้ำมันดันลม ส่วนลาโนโซเทอโรลได้จากไขมันชนิดต่างๆ สารทั้งสองมีความสำคัญในการนำไปสู่การสังเคราะห์สเตอรอยด์โดยกระบวนการการชีวะ

2.1.5 สเตอรอยด์

สเตอรอยด์เป็นหมู่ของลิปิดซึ่งไม่ถูกขาดอนนิไฟด์ โดยเบสไปเป็นกรดไขมัน และกลิเซอโรลสเตอรอยด์เป็นส่วนประกอบของไขมันสัตว์และพืช ส่วนใหญ่จะอยู่ในรูปแบบของแอลกอฮอล์เชิงที่เรียกว่า สเตอโรล (sterol) สเตอรอยด์เป็นจำนวนมากมีหมู่โนโลกุลที่มีฟังก์ชันทางชีวภาพและสรีรวิทยา โครงสร้างพื้นฐานของสเตอรอยด์เป็นระบบวงแหวน สามวงแหวนชนิดแรก เมนเบอร์ริงและหนึ่งวงแหวนชนิดห้าเมมเบอร์ริงมาหลอมเป็นระบบวงแหวนสามวงแหวนชนิดหาก เมนเบอร์ริงและหนึ่งวงแหวนชนิดห้าเมมเบอร์ริงมาหลอมเป็นวงแหวนเข้าด้วยกันในโครงร่างจะมีคาร์บอนอะตอมทั้งหมดสิบเจ็ดคาร์บอนอะตอม ระบบวงแหวนสเตอรอยด์เท่าไรคือกิณนิวนิวเคลียสเป็นเพอร์ไซโคลแพนทาโนฟินันทรีน (perhydrocyclopentanophenanthrene nucleus)



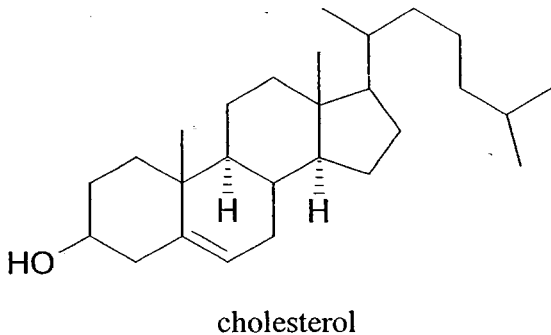
ระบบวงแหวนสเตอรอยด์

กำหนดวงแหวนเป็นตัวอักษร A, B, C และ D ตามลำดับ สเตอรอยด์ส่วนใหญ่มีหมู่เมทิลสองหมู่ภาวะเรียกว่าหมู่เมทิลแองกูลาร์ (angular methyl group)

2.1.6 คอเลสเตอโรล

สเตอรอยด์ที่รู้จักกันดีคือ คอเลสเตรออล ความสนใจในเคมีสเตอรอยด์และการวิจัยในเรื่องนี้ได้เพิ่มขึ้นอย่างรวดเร็วนับตั้งแต่ได้มีการใช้ให้เห็นโครงสร้างของคอเลสเตรออลเมื่อ 40 ปีก่อน ส่วนใหญ่คอเลสเตรออลพบในสมองและในไขสันหลังส่วนในเซลล์ที่มีชีวิตของสัตว์นั้นพบคอเลสเตรออลปริมาณเล็กน้อย คอเลสเตรออลดังเดิมนี้สกัดจาก gall bladder คอเลสเตรออล มีบทบาทเข้าไปเกี่ยวข้องในการสังเคราะห์โมโนในร่างกาย และนอกจากนี้ยังทำให้ผนังของเส้นโลหิตแดงแข็ง

คอเลสเตรออลมีโครงสร้างเหมือนกับโครงสร้างพื้นฐานสเตอรอยด์ ในโนโลกุลของคอเลสเตรออลมีคาร์บอนอะตอมอสมมาตรแปดอะตอม ดังนี้จึงสามารถมีสเตอโริโอล่าเมอร์ได้ 256 ไอโซเมอร์ สูตรโครงสร้างของคอเลสเตรออลเป็นดังนี้



2.2 การสกัดสารสำคัญจากพืช

2.2.1 Maceration เป็นการสกัดสารสำคัญจากพืช โดยเป็นการสกัดด้วยตัวทำละลายสำหรับแยกสาร และทำให้บริสุทธิ์ เช่น การแยกสารออกจากการของพสมที่เกิดขึ้นในธรรมชาติ โดยการแช่สมุนไพรกับตัวทำละลายในภาชนะปิด เป็นระยะเวลา 7 วัน โดยหมั่นเบย่าเพื่อให้ตัวทำละลายสกัดได้อย่างทั่วถึง แล้วกรองเอาตัวทำละลายออกจากภายนอกไป โดยการสกัดจะได้ผลดีควรทำซ้ำหลายครั้ง

2.2.2 Solid liquid extraction เป็นวิธีการที่ใช้ตัวทำละลายที่เหมาะสม สกัดสารที่เป็นของแข็ง นิยมใช้สกัดสารอินทรีย์จากธรรมชาติ ตัวทำละลายที่ใช้ส่วนใหญ่ เช่น ไคคลอโรเมเทน, เอทาน, อะซิโโน และแอลกอฮอล์ เครื่องมือที่ใช้สกัดสารอย่างต่อเนื่อง เช่น soxhlet extraction

2.3 ทฤษฎีโกรนาโทกราฟี (Chromatography)⁽¹⁾

วิธีที่ง่ายและใช้มากในการแยกสารหนึ่งออกจากสิ่งอื่นเป็น (ทำให้สารบริสุทธิ์) หรือในการแยกสารพสมออกจากกันมี 2 วิธี คือ การสกัดด้วยตัวทำละลาย (extraction) และ โกรนาโทกราฟี ทั้งสองวิธีนี้ใช้หลักการเดียวกันคือ phase distribution ซึ่งมีหลักอยู่ว่า สารใดสารหนึ่งอาจจะกระจายตัวอยู่ในสมดุล (equilibrium) ระหว่างวัฏภาพสองวัฏภาพ (phase) ที่ไม่รวมตัวกันซึ่งสัมผัสกันอยู่ อัตราส่วนการกระจายตัวของสารแต่ละตัวในวัฏภาพทั้งสองจะขึ้นอยู่กับอัตราความคงตัว (stability) ของสารในแต่ละวัฏภาพ การแยกนี้อาจใช้แยกสารพสมที่เป็นก๊าซ ของเหลว หรือของแข็งได้

การกระจายตัวที่กล่าวมานี้แบ่งได้เป็นสองชนิดคือ

1. Partition อาศัยคุณสมบัติที่ส่วนพสมนั้นละลายได้ในตัวทำละลายซึ่งส่วนพสมเป็นเนื้อเดียวกันได้ต่างกัน (selective dissolution) เช่น สารอินทรีย์ละลายได้ในอีเทอร์ แต่เกลือส่วนมากละลายได้ในน้ำ หลักการนี้ปกติใช้แยกสารด้วยวิธีสกัดด้วยตัวทำละลาย

2. Adsorption อาศัยคุณสมบัติที่ส่วนพสมซึ่งเป็นของเหลวหรือสารละลายหรือก๊าซเกาะยึดอยู่กับผิวของวัฏภาพที่เป็นของแข็งได้ต่างกัน

การแยกสารด้วยวิธีสกัดเฉพาะ partition แต่โกรนาโทกราฟีใช้ทั้ง partition และ adsorption โดยหลักการของ phase distribution ประกอบด้วยวัฏภาพเคลื่อนที่ (mobile phase) เคลื่อนผ่าน

วัสดุภาคทั้งสองชั้นอยู่กับที่ (stationary phase) ส่วนผสมที่มีสารต่างๆซึ่งมีอัตราการกระจายตัวในวัสดุภาคทั้งสองนี้ไม่เท่ากัน เมื่อวัสดุภาคเคลื่อนที่ผ่านไปมาจะทำให้สารผสมแยกออกจากกันเป็นแบบอยู่บน stationary phase แทนเหล่านี้ยังเคลื่อนที่ไปไกลเท่าได้ สารต่างๆก็จะแยกจากกันได้ดีขึ้น

2.3.1 Column Chromatography

วิธีนี้ใช้คอลัมน์แก้วบรรจุตัวถ่วง นำสารที่ต้องการแยกใส่ในคอลัมน์เติมตัวทำละลายลงไป ตัวทำละลายจะค่อยๆพาสารที่ต้องการให้เคลื่อนที่ลงไปด้วยอัตราความเร็วที่ต่างกันจนในที่สุดจะได้แบบสีของแต่ละสารแยกออกจากกัน การที่สารในของผสมแยกออกจากกันได้ก็เนื่องจากว่าแต่ละสารถูกดูดซึบในอัตราที่ไม่เท่ากัน สารที่ถูกดูดไว้มากกว่าบ่อมเคลื่อนที่ลงมาช้ากว่า จากหลักการนี้เราสามารถแยกสารที่มี polarity ต่างกันออกจากกันได้ สารที่โพลาร์มากจะถูกดูดไว้แน่นกว่าสารที่โพลาร์น้อยกว่า

Adsorbent ที่นิยมใช้มากคือ อะลูมีนา (alumina) และซิลิกาเจล (silica gel) ตัวทำละลายที่ใช้ได้มีมาก ตัวทำละลายแต่ละชนิดจะให้อัตราเร็วในการแยกสารต่างๆออกจากตัวถ่วงซึบ (eluting power) ไม่เท่ากัน ตัวทำละลายที่โพลาร์มากจะยิ่งพาสารต่างเคลื่อนที่ได้เร็วมาก ดังนี้เรายังเดือกด้วยตัวทำละลายที่นอนโพลาร์ (non polar) สำหรับแยกสารที่ถูกดูดซึบน้อยออกมาก่อนแล้วเดือกด้วยตัวทำละลายที่โพลาร์มากขึ้นสำหรับแยกสารที่ถูกดูดซึบดีขึ้นตามลำดับ ตัวทำละลายสามัญที่ใช้เรียงตามลำดับของ eluting power หรือ polarity จากน้อยไปหามาก

ถ้าต้องการตัวทำละลายที่มี eluting power พอดูเหมาะสมต้องผสมตัวทำละลายสองชนิดหรือมากกว่านี้เข้าด้วยกัน

ข้อควรระวัง เป็นชีนและควรบอนเตตราคลอไรด์เป็นสารที่มีพิษ ถ้าจำเป็นต้องใช้ระวังอย่าให้ถูกผิวนังหรือสูดคอมโดยไม่จำเป็น

2.3.2 TLC (Thin-Layer Chromatography)

ใช้หลักการเดียวกับคอลัมน์โกรามาโทกราฟี คือแบบ solid – liquid adsorption chromatography วิธีนี้ใช้ตัวถ่วงที่เป็นของแข็งเป็นชีนหรือเป็นฟิล์มบางๆ หนา 0.25-1 มม. ติดอยู่บนแผ่นกระดาษ โดยมากมักจะใช้แผ่นกระดาษในโกรสโโคปส์ไลด์ เพราะสะดวกและรวดเร็วคี แล้วนำสารละลายของผสมที่จะแยกจำนวนเล็กน้อยไป spot บนตัวถ่วงที่ปลายกระดาษหันไปด้วยใช้ capillary tube เมื่อตัวทำละลายระเหยไปเลี้ยว สารก็จะติดอยู่บนตัวถ่วง นำแผ่นสไลด์นี้ไปใส่ภาชนะที่มีตัวทำละลายชนิดหนึ่ง (อาจเป็นตัวทำละลายผสมก็ได้) โดยให้ระดับของตัวทำละลายอยู่ต่ำกว่าจุดของสาร เมื่อปิดภาชนะเพื่อให้ภายในภาชนะอิ่มตัวด้วยไอกองตัวทำละลาย ตัวทำละลายจะซึมขึ้นมาด้านบนตามแนวคีดี่งผ่านจุดที่สาร ของตัวทำละลายและตัวถ่วงแบบเดียวกันในวิธีคอลัมน์ ดังนั้นการที่สารแยกออกจากกันก็โดยอาศัยหลักที่ว่าสารต่างๆเคลื่อนที่หรือถูก elute ด้วยอัตราเร็วที่ต่างกัน การที่

จะทราบว่าสารที่ไม่มีสีเคลื่อนที่มาอยู่ตรงไหน ทำได้หลายวิธี เช่นเดียวกับในวิธีคอลัมน์วิธีสะดวกมาก วิธีหนึ่งก็คือนำแผ่นสไลด์ที่มีสารนี้ไปใส่ในภาชนะปิดที่มีสารไอโอดีน สารอินทรีย์ส่วนมากจะเกิด reversible weak complex กับไอโอดีนให้จุดที่มีสีน้ำตาล เวลาใช้อาจเร็ว เช่น 5-10 นาที หรืออาจนานถึง 10-15 นาที แล้วแต่ว่าสารนั้น absorb ไอโอดีนเร็วหรือช้า

ตัวคุณที่ใช้อาจเป็นซิลิกาเจล หรืออะลูมินา เช่นเดียวกับในวิธีคอลัมน์ อำนวยในการคุ้ดซับขึ้นอยู่กับปริมาณของน้ำที่มีอยู่ด้วย ถ้ามีน้ำอยู่มากความสามารถในการคุ้ดจะลดลง ในการเตรียมแผ่นสไลด์ของตัวคุณซับ ทำได้โดยคนตัวคุณซับกับตัวทำละลายจนเป็น slurry และทำให้เคลื่อนบนแผ่นสไลด์ให้ทั่วถึงอย่างสม่ำเสมอ แล้วนำแผ่นสไลด์นี้ไป activate โดยทำให้ร้อน เช่น อังหารอดไฟฟ้าหรือนำไปใส่เตาอบที่อุณหภูมิประมาณ $100-120^{\circ}\text{C}$ ประมาณ 10 นาทีแต่ถ้าใช้ตัวทำละลายอินทรีย์ที่ระเหยง่าย เช่น คลอร์ฟอร์ม เมื่อเคลื่อนตัวคุณซับลงบนแผ่นสไลด์เรียบร้อยแล้วปล่อยให้คลอร์ฟอร์มระเหยไปจนหมดก็นำแผ่นสไลด์นี้ไปใช้ได้ทันทีโดยไม่ต้องทำให้ร้อนก่อน

ตัวทำละลายที่ใช้คือลักษณะเดียวกันหรืออาศัยหลักการเดียวกันกับวิธีคอลัมน์ และส่วนมากมักจะใช้ตัวทำละลายผสม

วิธีนี้ใช้แยกสารจำนวนน้อยออกจากกัน และสำหรับพิสูจน์ทราบสาร เพราะเหตุว่า ถ้าใช้ตัวคุณเดียวกันใช้ระบบตัวทำละลายที่เหมือนกัน ที่อุณหภูมิและสภาพเดียวกัน สารหนึ่งๆจะมีค่า “rate of flow” หรือ “R value” คงที่

R_f value คือ อัตราส่วนของระยะทางที่สารเคลื่อนที่ต่อระยะทางที่ตัวทำละลายเคลื่อนที่

$$R_f \text{ value} = \frac{\text{ระยะทางที่สารเคลื่อนที่}}{\text{ระยะทางที่ตัวทำละลายเคลื่อนที่}}$$

2.3.3 PLC (Preparative Thin-Layer Chromatography)

เป็นการใช้แผ่นกระดาษไฮเพอร์เคลื่อนด้วยอนุภาคของแข็ง เช่น อะลูมินา ซิลิกาเจล เป็นต้นเป็นการแยกสารที่มีปริมาณน้อย มีลักษณะเหมือน TLC แต่ต่างกันที่ขนาด โดย PLC จะมีขนาดใหญ่กว่าและเมื่อเคลื่อนเสร็จติดตั้งทิ้งไว้ให้แห้ง ก่อนนำไปเข้าตู้อบ ที่อุณหภูมิ 120°C เป็นเวลา 1-2 ชั่วโมง สารตัวอย่างจะใส่โดยการหยดคลอกลงไปบนแผ่น และการแยกสารจะเกิดขึ้นภายในแท่งค์จากนั้นชุดแยกที่แยกได้เดินตัวทำละลายลงไปเพื่อสกัดสารแล้วนำไปประเทบทัวทำละลายให้แห้ง ชั่วหน้าของการ

2.3.4 PC (Paper Chromatography)

เปเปอร์โกรามาโทกราฟี เป็น Partition chromatography อาศัยคุณสมบัติที่สารผ่านละลายในตัวทำละลายสองชนิดซึ่งไม่สมเป็นเนื้อเดียวกัน Stationary phase เป็นของเหลวที่มี polarity สูง ซึ่งถูกดูดซับอยู่กับ cellulose fiber ของกระดาษกรองได้แน่น mobile phase คือตัวทำละลายอินทรี สารที่ละลายในตัวทำละลายอินทรีได้ดีกว่าในน้ำก็จะเคลื่อนที่ได้เร็วกว่า วิธีเปเปอร์โกรามาโทกราฟีนี้มีประโยชน์ในการพิสูจน์ทราบสารและแยกสารที่มีปริมาณน้อยออกจากกันได้เร็วใช้แยกสารได้หลายชนิด เช่น amino acids, sugars, nucleotides, alkaloids และอื่น ๆ

เทคนิคในการทำคล้ายคลึงกับวิธี TLC มาก แต่ใช้หลักการต่างกัน ทำได้โดยเอาละลายของสารผ่านที่ต้องการจะแยกกับสารที่ต้องการเบรย์เทียนมา spot ด้วย capillary tube ให้แยกกันอยู่บนกระดาษกรองที่ตัดเป็นรูปสี่เหลี่ยมผืนผ้า พอแห้งแล้วก็ให้อาหารด้วยน้ำที่มีตัวทำละลายอินทรี ให้ส่วนปลายของกระดาษที่มีจุดของสารจุ่มน้ำอยู่ในตัวทำละลายโดยที่ระดับของตัวทำละลายอยู่ต่ำกว่าจุดของสาร ตัวทำละลายจะขึ้นไปตามจุดด้านบน ขณะเดียวกันน้ำจะขึ้นตามจุดด้านบน จนกว่าสารที่ต้องการจะเคลื่อนที่ไปได้ช้ากว่าสารอื่นๆ ไม่เท่ากัน โดยน้ำจะเคลื่อนตัวออกจากสารโดยที่ระดับของตัวทำละลายต่างๆ ในสารผ่านไปทางด้านบน ดังนั้นมีอัตราที่ต้องการที่ต่างกัน จุดที่เคลื่อนตัวเร็วที่สุดจะเคลื่อนที่ด้วยอัตราคงที่ ถ้าหาใช้ระบบตัวทำละลายที่เหมือนกันที่อุณหภูมิและสภาพเดียวกัน ค่า R_f (R_f value) ก็จะเป็นสมบัติประจำตัวของสารนั้น

$$R_f \text{ value} = \frac{\text{ระยะทางที่สารเคลื่อนที่}}{\text{ระยะทางที่ตัวทำละลายเคลื่อนที่}}$$

การที่จะหาว่าสารต่างๆ ที่ไม่มีสีเคลื่อนที่ไปอยู่ที่ใดของกระดาษกรองนั้น เราใช้การพ่นด้วยสารเคมีบางชนิดบนโกรามาโทแกรมที่แห้ง หรือฉายด้วยรังสีอัลตร้าไวโอเลต

2.4 การตกผลึก

สารเคมีซึ่งจะใช้ในการศึกษาคุณสมบัติต่างๆ นั้นจะต้องเป็นสารบริสุทธิ์แต่สารที่สังเคราะห์ขึ้นหรือที่แยกออกจากวัสดุในธรรมชาตินั้น ส่วนมากจะไม่บริสุทธิ์ คือมีสารอื่น (impurities) ปนอยู่ด้วย วิธีทำให้สารที่เป็นของแข็งให้บริสุทธิ์ที่ใช้มากอย่างหนึ่งคือการตกผลึกสารนั้นในตัวทำละลายที่เหมาะสม วิธีทำสารให้บริสุทธิ์โดยการตกผลึกนี้ใช้ได้มีอัตราเร็วมาก ไม่ต้องใช้เวลา

ขั้นตอนของการตกผลึกมีดังนี้ คือ

1. ละลายสารในตัวทำละลายที่เหมาะสมให้ได้สารละลายเกือบอิ่มตัวที่จุดเดือดของตัวทำละลาย
2. กรองขยะร้อนเพื่อขัดสิ่งเจือปน ซึ่งไม่ละลายในตัวทำละลายและร้อนออก
3. ปล่อยสารละลายเย็นตัวลงเพื่อให้ของแข็งตกผลึกออกมานา

4. กรองแยกผลึกออกจากสารละลายที่เหลือ (mother liquor)
5. ล้างผลึกด้วยตัวทำละลายที่เข็นจัดจำนวนเล็กน้อยเพื่อขัดถี่งเจือปนหรือ mother liquor ที่ติดอยู่ที่ผิวของผลึกออก
6. ทำให้ผลึกแห้ง เพื่อขัดตัวทำละลายที่เหลือให้หมด

2.4.1 การเลือกตัวทำละลาย

การเลือกตัวทำละลายที่เหมาะสมในการตกรผลึก นับว่าสำคัญมาก การเลือกตัวทำละลายสำหรับของแข็งที่รู้จักแล้ว อาจทำได้โดยตรวจดูใน literatures ที่มีผู้ทดลองไว้ แต่สำหรับสารที่ไม่รู้จัก กรณีเลือกตัวทำละลายทำได้ไม่ง่ายนัก เพราะเราไม่สามารถกำหนดเป็นกฎเกณฑ์แน่นอน ได้ว่าสารชนิดหนึ่งจะละลายได้ในตัวทำละลายใด สารชนิดเดียวกันอาจจะละลายได้ในตัวทำละลายหลายอย่าง ดังนั้นการหาตัวทำละลายที่เหมาะสมจึงได้มาจากการทดลอง แต่อาจอาศัยหลักกว้างๆ ได้ว่าสารจะละลายได้ในตัวทำละลายที่มีองค์ประกอบเคมีคล้ายคลึงกันเป็นต้นว่าเป็นสารชนิดเดียวกันหรือมี functional group คล้ายกัน หรืออาจสรุปได้ว่า “like dissolve like” เช่น naphthalene จะละลายได้ใน benzene และไม่ละลายในขณะที่ hydroxyl compounds จะละลายได้ในน้ำเป็นต้น หรืออาจกล่าวได้ว่า non-polar compounds จะละลายได้ใน non-polar solvents ส่วน polar compounds จะละลายได้ใน polar solvents

คุณสมบัติของตัวทำละลายที่เหมาะสมคือ

1. ควรจะละลายสารได้มากขณะร้อนและละลายได้น้อยมากขณะเย็น
2. ควรจะละลายสิ่งเจือปนได้มาก หรือละลายได้น้อยมาก
3. ควรจุดเดือดค่อนข้างต่ำ เพื่อกำจัดออกจากการทดลองได้ง่าย
4. ไม่ทำปฏิกิริยาเคมีกับสารที่นำมาตกรผลึก
5. ควรให้ผลึกของสารบริสุทธิ์ที่มีรูปร่างชัดเจน (ไม่ใช่ตะกอน)

ตัวทำละลายที่ใช้ได้ผลดีกับสารส่วนมากได้แก่ น้ำ, ethanol, methanol, Petroleum ether, hexane, benzene, toluene, acetone, ether, carbon tetrachloride เป็นต้น

2.4.2 การกรองผลึก

เพื่อแยกผลึกออกจากสารละลาย กรองโดยใช้ suction เครื่องมือที่ใช้ต้องต่อให้แน่นและแข็งแรงทุกแห่ง ไม่มีรอยร้าว เพราะการกรองผลึกจะได้ผลดีก็ต่อเมื่ออากาศถูกดูดออกผ่านทางกรวยกรองมากที่สุด ถ้ามีรอยร้าวอากาศจะถูกดูดผ่านกรวยกรองน้อยลงทำให้การกรองไม่ได้ผลดี water pump ที่น้ำไหลแรงอาจลดความดันภายในระบบได้ต่ำกว่า 20 ม.m. prototh ความดันของบรรยากาศภายนอกซึ่งสูงเกิน 760 ม.m. prototh หรือ 14.7 ปอนด์ต่อตารางนิวตันที่ก่อผลบบวนหัวน้ำมาก ถ้าไม่ใช่ขาด suction ที่แข็งแรงและทนทานพอ อาจทำให้ขาดแตกหรือระเบิดได้

กระดาษกรองที่ใช้วาง Buchner Funnel ต้องมีขนาดเล็กกว่าขอบในของกรวยกรอง เล็กน้อยก่อนจะกรองต้องทำให้กระดาษกรองเปียกค่อยๆ ตัวทำละลายที่ใช้ในการตักผลึกน้ำ แล่พยาบาล กดให้กระดาษแนบติดกรวยกรองให้สนิท ค่อยๆ เปิด water pump ปิดสกรูก่อนเทสารละลายลงในกรวย ควรเขย่าเล็กน้อยเพื่อให้ผลึกออกมาก่อนกับสารละลายขณะเทให้มากที่สุด ใช้แท่งแก้วหรือ spatula ที่ทำด้วยนิกเกิลหรือ stainless steel ภาชนะหลังในกรวยและผลึกที่เหลือในขวดอาจใช้ตัวทำละลายเย็นจัดจำนวนเล็กน้อยช่วยล้างผลึกออกมา

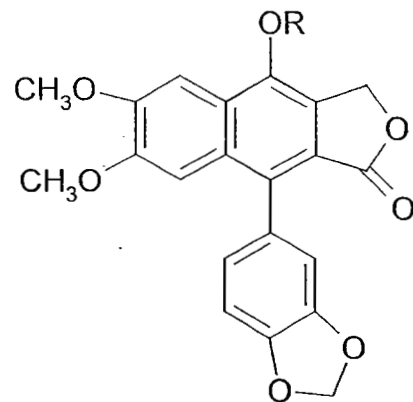
2.5 งานวิจัยที่เกี่ยวข้อง

ปี 2000 Meenakshi, J. และ Shanmugam, G.⁽⁴⁾ พบว่า Cleistanthin A ซึ่งเป็น diphyllin glycoside ที่แยกได้จาก *Cleistanthus collinus* มีฤทธิ์ต้านเซลล์มะเร็ง (cytotoxic) และทำให้ก้อนมะเร็งเล็กลง (tumor regression)

ปี 1999 Pradheepkumar, C.P. และ Shanmugam, G.,⁽⁵⁾ พบว่า Cleistanthin A ที่ได้จาก *Cleistanthus collinus* มีศักยภาพในการต้านมะเร็ง (anticancer) และต้านเซลล์มะเร็ง (cytotoxic) ได้โดย มีค่า EC 50 เท่ากับ 10-7-10-9 M และเทียบกับยา anticancer มาตรฐาน 5 ชนิด พบว่า Cleistanthin A มีประสิทธิภาพมากสุด นอกจากนี้ยังสามารถขยับยัง oral carcinoma cell line KB และ cervical carcinoma cell line SiHa ได้

ปี 1998 Kumar, C.P., Pradheep, P.G. และ Shanmugam, G.⁽⁶⁾ พบว่า Cleistanthin B ที่ได้จาก *Cleistanthus collinus* มีศักยภาพในการต้านเซลล์มะเร็ง ทำลายเซลล์ต่าง ๆ ในสัตว์เลี้ยงลูกด้วยนม ได้ (apoptosis) และ สารประกอบนี้ยังยังการสังเคราะห์ DNA ใน China hamster ovary (CHO) ได้ และ ทำลายเซลล์ cervical carcinoma (SiHa) ได้

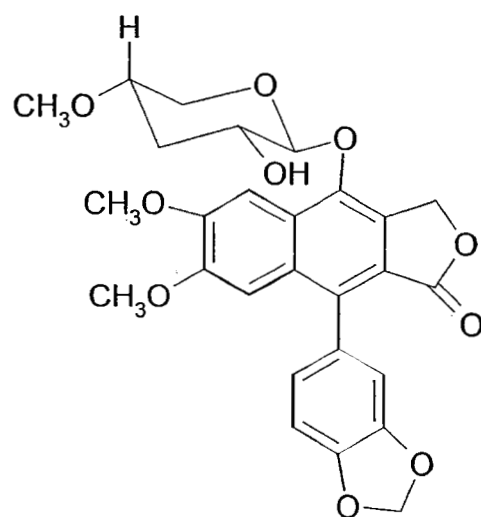
ปี 1996 Prabhakaran, C., Pradheep, P., Panneerselvam, N., Rajesh, และ S. Shanmugam, G.⁽⁷⁾ พบว่า Cleistanthin B ซึ่งเป็นส่วนที่เป็นพิษที่แยกได้จาก *Cleistanthus collinus* สามารถออกฤทธิ์ต้าน เซลล์มะเร็ง (cytotoxicity) และออกฤทธิ์ genotoxic ต่อเซลล์ธรรมดานและเซลล์เนื้องอก ได้



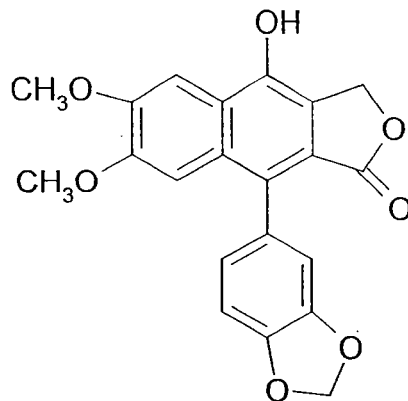
Cleistanthin A $\text{R} = 3,4\text{-di-}\text{o}\text{-methylxylosyl}$

Cleistanthin B $\text{R} = \beta\text{-D-glucosyl}$

ปี 1987 Sastry, K.V., Rao, E.Venkata, Buchanan, J.G., และ Steergeon, R.J.⁽⁸⁾, แยก Cleistanthoside B ซึ่งเป็น diphyllin glycoside (diphyllin-4-yl-4-O-methyl- β -D-xylopyranoside) ได้จากเก嫩ของ *Cleistanthus patulus* โดยพิสูจน์สูตร โครงสร้าง ได้จากข้อมูลทางเคมี



Cleistanthoside B



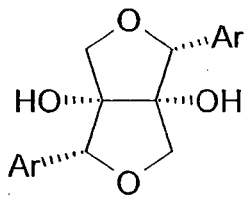
diphyllin-4-yl-4-O-methyl- β -D-xylopyranoside

ปี 1985 Latha, W., Modly: Rao, V.S. Sundara, Reddy, K.K. และ Sastry, K.N.N.⁽⁹⁾, แยกสารประกอบ phenolic จำนวน 10 ชนิดจากเปลือกของ *Cleistanthus collinus* และ 1 ชนิดจาก wood ของ *Cleistanthus collinus*

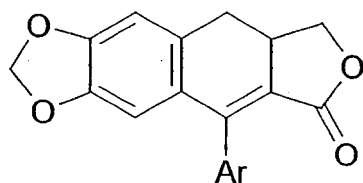
ปี 1984 Satyanarayana, P., Subrahmanyam, P., Rao, P. Koteswara.,⁽¹⁰⁾ พบว่ารากของ *Cleistanthus collinus* มี β -sitosterol, paulownin, diphyllin และ Cleistanthin D เป็นองค์ประกอบ

ปี 1983 Sastry, K.V., Rao, E. Venkata.,⁽¹¹⁾ พบ Cleistanthoside A, (+)-sesamin, taiwanin C, paulowin, Cleistanthin A diphyllin และ β -sitosterol จากเหงนของ *Cleistanthus patulus*

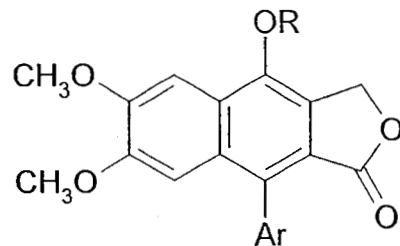
ปี 1981 Anjaneyulu, A.S.R., Ramaiah, P., Archuta., Row, L.Ramachandra, Venkatiswarlu, R., Pelter, A., และ Ward, R.S.,⁽¹²⁾ แยกลิกแนน 9 ตัวได้จากเหงนของ *Cleistanthus collinus* เป็นลิกแนนคืนพบใหม่ 5 ตัวได้แก่ wodeshiol, 3,4-dihydrotaiwanin C, Cleistanthin D, และ glycoside ของ Cleistanthin D



wodeshiol



3,4-dihydrotaiwanin C



R = 2, 3,5-tri-O-methyl-D-xylose

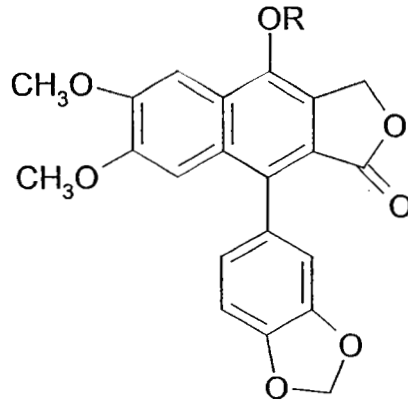
Cleistanthin D

ปี 1977 Anjaneyulu, A.S.R., Ramaiah, P., Atchuta, Row, L. และ L. Ramachandra⁽¹³⁾ แยก Cleistanthin C ซึ่งเป็น diphyllin glycoside ตัวใหม่ได้จาก根ของ *Cleistanthus collinus* Roxb.

ปี 1975 Anjaneyulu, A.S.R., Ramaiah, P., Atchuta, Row, L. Ramachandra⁽¹⁴⁾ คุณพน (4-O- β -2,3-di-O-methylxylopysonosyl- β -D-glucopyranoside) diphyllin glycoside ตัวใหม่จาก 根ของ *Cleistanthus collinus*

ปี 1971 Pegel, K.H., Candy, H.A. และ Pakshong, Jran M.⁽¹⁵⁾ แยก pimarane diterpens 3 ตัว ได้จาก根ของ *Cleistanthus schlichteri* ซึ่ง diterpens 3 ตัวนี้เป็น aromatic diterpenes cleistanthol

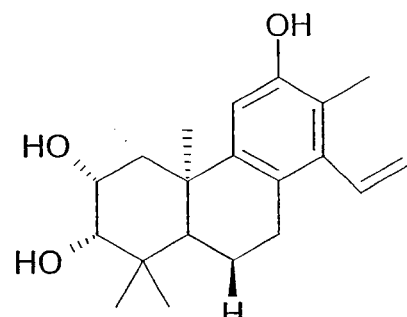
ปี 1970 Lakshmi, Mrs.T.G., Srimannaryana , G. และ Rao, N.V. Subba⁽¹⁶⁾ แยก Cleristanthin C ซึ่งเป็น glycoside ชนิด diphyllin O-glycoside ตัวใหม่จากเปลือกของ *Cleistanthus collinus*



R = 2, 3-di-O-methylxylosyl

(1- 4) glucosyl

Cleistanthin C



Cleistanthol

บทที่ 3

วัสดุ อุปกรณ์ และวิธีการทดลอง

การแยกทางค์ประกอบทางเคมีของลำต้นสามพันตากาใช้อุปกรณ์และสารเคมีดังต่อไปนี้

3.1 สารเคมีและอุปกรณ์

- 3.1.1 เสกเซน
- 3.1.2 เอทิลอะซิเดต
- 3.1.3 ไคคลอโรเมเทน
- 3.1.4 เมทานอล
- 3.1.5 เอทานอล
- 3.1.6 อะซิโตน
- 3.1.7 แมกนีเซียมชัลเฟต
- 3.1.8 ไอโอดีน
- 3.1.9 โพแทสเซียมไบรอนด์
- 3.1.10 ชิลิกาเจล 60 ขนาด 0.04-0.063 มิลลิเมตรของบริษัท E.Merck, Dramstadt, Germany
- 3.1.11 ชิลิกาเจล 60 PF₂₅₄ ของบริษัท E.Merck, Dramstadt, Germany
- 3.1.12 คอลัมน์ขนาดเด็นผ่าศูนย์กลาง 10 เซนติเมตร ยาว 90 เซนติเมตร
- 3.1.13 คอลัมน์ขนาดเด็นผ่าศูนย์กลาง 6 เซนติเมตร ยาว 40 เซนติเมตร
- 3.1.14 หลอดกำเนิดแสงญี่วี (UV lamp) ความยาวคลื่น 254 และ 366 นาโนเมตร
- 3.1.15 เครื่องระเหยแบบหมุน(Rotary Evaportor) Buchi ประเทศสวิตเซอร์แลนด์
- 3.1.16 เครื่อง IR บริษัท Perkin Elmer รุ่น System 2000 FTIR
- 3.1.17 เครื่อง NMR บริษัท Bruker 400 MHz Ultrashield 400

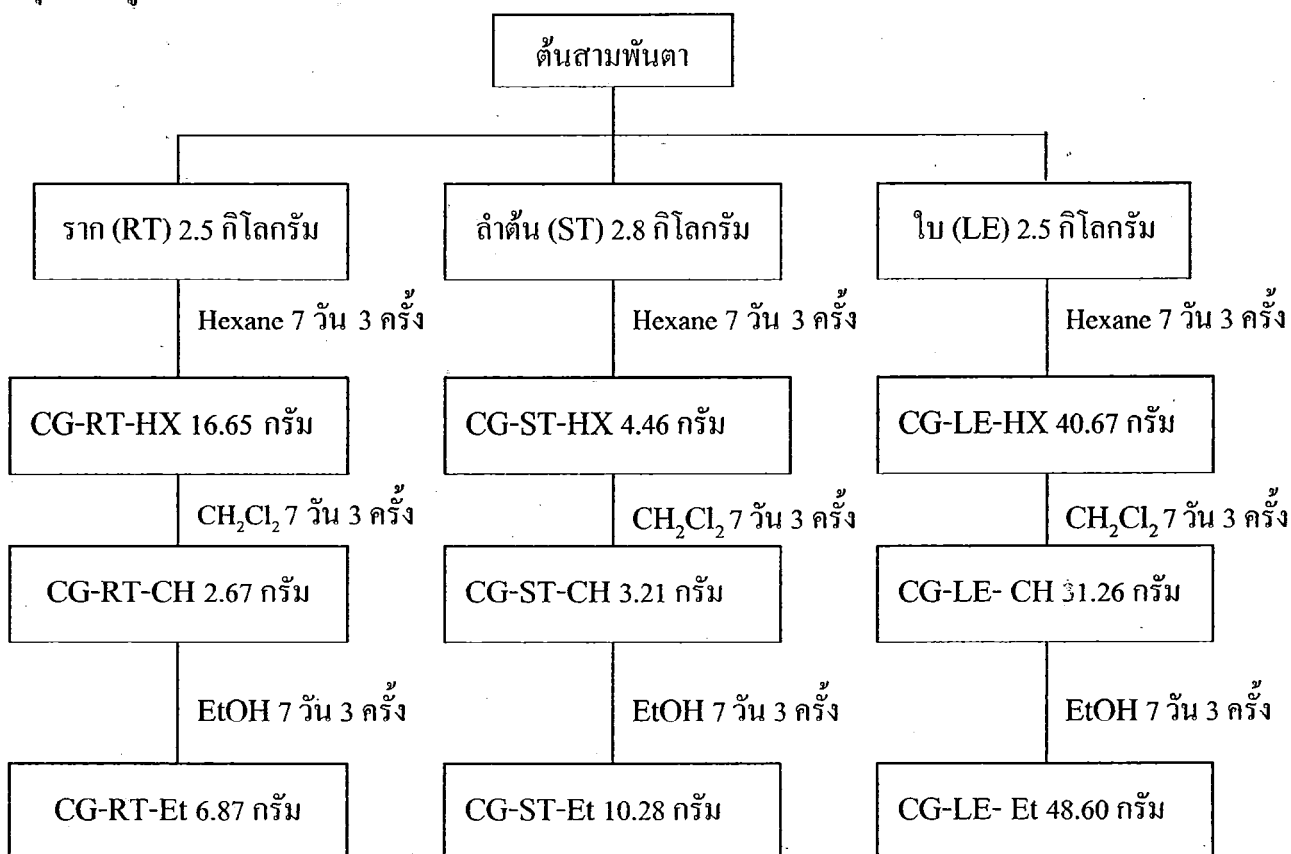
3.2 การเก็บและการเตรียมตัวอย่าง

นำส่วนลำต้นของสามพันตากาที่หั่นและบดละเอียด บรรจุใส่ถุงผ้าที่สะอาด มัดปากถุงให้แน่นชั่ง นำไปแช่ในตัวทำละลายเสกเซนเป็นระยะเวลา 7 วัน ไขตัวทำละลายออกนาเพื่อสกัดเอาสารออกน้ำไป预备ตัวทำละลายออกตัวยเครื่องแบบหมุนจนแห้ง ทำการสกัดทึ่งหมุดสามครั้ง นำ crude

extract ของເສັກເໜີນທີ່ໄດ້ທີ່ສາມຄົງມາຮວມກັນທໍາໄຫ້ແໜ່ງດ້ວຍ vacuum pump ນຳສ່ວນທີ່ເໜືອສັກດົກຕ່ອງດ້ວຍໄດ້ຄລອໂຣມີເຫັນ ແລະເອທານອລໃນທຳນານອັດຍາກັນ ຕານລຳດັບ ໄດ້ສ່ວນສັກດົກທີ່ໜັດ 9 ສ່ວນ ຄືອ

- 1) ສ່ວນສັກດົກເສັກເໜີນຈາກຮາກ (CG-RT-HX)
- 2) ສ່ວນສັກດົກໄດ້ຄລອໂຣມີເຫັນຈາກຮາກ (CG-RT-CH)
- 3) ສ່ວນສັກດົກເອທານອລຈາກຮາກ (CG-RT-Et)
- 4) ສ່ວນສັກດົກເສັກເໜີນຈາກລຳຕິ່ນ (CG-ST-HX)
- 5) ສ່ວນສັກດົກໄດ້ຄລອໂຣມີເຫັນຈາກລຳຕິ່ນ (CG-ST-CH)
- 6) ສ່ວນສັກດົກເອທານອລຈາກລຳຕິ່ນ (CG-ST-Et)
- 7) ສ່ວນສັກດົກເສັກເໜີນຈາກໄປ (CG-LE-HX)
- 8) ສ່ວນສັກດົກໄດ້ຄລອໂຣມີເຫັນຈາກໄປ (CG-LE- CH)
- 9) ສ່ວນສັກດົກເອທານອລຈາກໄປ (CG-LE- Et)

ສະຖິຕິດັ່ງຮູບທີ່ 3.1



ຮູບທີ່ 3.1 ສ່ວນສັກດົກຕ່າງໆ ຂອງຕິ່ນສາມພັນຕາ

3.3 การทดสอบการออกฤทธิ์ต้านเซลล์มะเร็งของส่วนสกัด (ทำที่งานวิจัยสารบำบัดมะเร็ง สถาบันมะเร็งแห่งชาติ)

นำส่วนสกัดทั้ง 9 ส่วนไปทดสอบการออกฤทธิ์ต้านเซลล์มะเร็งโดยใช้เซลล์มะเร็งลิวคีเมีย;
P388 โดยวิธี Viable Cell Count: Dye Exclusion Method

3.3.1 การเตรียมเซลล์มะเร็งเพื่อใช้ในการทดลอง (stock cell suspension)

เตรียม cell suspension ให้ได้ประมาณ 5×10^4 cells/ml โดยการนำเซลล์ที่เลี้ยงไว้ซึ่งมีอายุประมาณ 3-4 วัน มาดำเนินการตามขั้นตอนดังนี้

- การย้อมศีรษะด้วย methylene blue (Dye exclusion)

เขย่าขวดเลี้ยงเซลล์เบาๆ เพื่อให้เซลล์กระจำบไปทั่ว จากนั้นผสมเซลล์กับ 0.4% trypan blue ในอัตราส่วน 1:1 ผสมให้เข้ากัน โดยใช้ Pasteur pipette ดูดขึ้นลงเบาๆ ปล่อยทิ้งไว้ประมาณ 5-10 นาที นำไปนับเซลล์ที่มีชีวิต กือไม่ติดสีน้ำเงินของ trypan blue

- การนับจำนวนเซลล์ที่มีชีวิต (Viable Cell Count)

นำเซลล์ที่ย้อมด้วย 0.4% trypan blue หยดลงบน Haemocytometer แล้วนับจำนวนเซลล์ที่มีชีวิตภายในกล้องจุลทรรศน์ และนำจำนวนเซลล์ที่นับได้มาคำนวณค่า Dilution number เพื่อใช้เตรียม stock cell suspension ที่ความเข้มข้น 5×10^4 cells/ml ตามสมการดังนี้

$$\frac{\text{จำนวนเซลล์ / ml}}{\text{จำนวนช่องที่นับ}} = \frac{\text{จำนวนเซลล์ที่นับได้} \times \text{Dilution factor} \times 10^4}{\text{จำนวนช่องที่นับ}}$$

ซึ่ง Dilution factor : อัตราส่วนของ cell ต่อ 0.4% trypan blue มีค่าเท่ากับ 2

$$10^4 : \text{ปริมาตรของแต่ละช่องใน Haemacytometer}$$

(กว้าง x ยาว x สูง = $0.1 \text{ cm} \times 0.1 \text{ cm} \times 0.01 \text{ cm}$)

$$\text{ดังนั้น Dilution Number} = \frac{\text{จำนวนเซลล์ / ml}}{\text{ความเข้มข้นของ stock cell suspension ที่ต้องการเตรียม}}$$

3.3.2 การทดสอบฤทธิ์ต้านแซลต์มั่งเริงเม็ดเลือดขาว

เจือจางสารละลายน้ำมันหอมระ夷ที่เตรียมไว้คัวย solvent control (2.5% DMSO in RPMI-1640) ให้ได้ความเข้มข้นสุดท้ายตามที่ต้องการซึ่งจะมีปริมาณของสารและ solvent control รวมกันในขวดเลี้ยงเซลล์ประมาณ 1 ml จากนั้นเติมอาหารเลี้ยงเซลล์ปริมาณ 3 ml และเซลล์มั่งเริงที่เตรียมไว้จำนวน 1 ml ลงในขวดเลี้ยงเซลล์ที่เจือจางสารน้ำมันหอมระ夷 นำไปบ่มที่ภาวะ 37°C, 5% CO₂ เป็นระยะเวลา 4 วัน โดยมีกลุ่มควบคุมที่ไม่ได้เติมสารละลายน้ำมันหอมระ夷แต่เติม solvent control แทน ซึ่งเป็นกลุ่มที่ใช้ในการเปรียบเทียบผลการทดลอง

3.3.3 การวิเคราะห์ความเป็นพิษต่อเซลล์มั่งเริงเม็ดเลือดขาว

หลังจากบ่มเซลล์ครบ 4 วัน สามารถวัดผลการยับยั้งการเจริญของเซลล์มั่งเริง โดยการข้อมเซลล์ที่ทำการทดลองและนับเซลล์มีชีวิต(ไม่ติดสีน้ำเงินของ trypan blue) จากเซลล์ตาย (ติดสีน้ำเงินของ trypan blue) เช่นเดียวกับการเตรียมเซลล์ก่อนการทดลอง จากนั้นคำนวณค่าร้อยละการเจริญของเซลล์มั่งเริงที่บ่มกับสารละลายน้ำมันหอมระ夷เปรียบเทียบกับกลุ่มควบคุมที่ไม่ได้ใส่น้ำมันหอมระ夷 สามารถคำนวณได้จากสมการดังนี้

$$\text{ร้อยละการเจริญของเซลล์มั่งเริง} = \frac{\text{จำนวนเซลล์ที่มีชีวิตของกลุ่มทดลอง}}{\text{จำนวนเซลล์ที่มีชีวิตของกลุ่มควบคุม}} \times 100$$

ซึ่งหลักเกณฑ์ในการทดสอบ จะใช้หลักเกณฑ์ของสถาบันมะเร็งแห่งชาติ สหรัฐอเมริกา (61) กล่าวคือ จำนวนสัดส่วนที่มีฤทธิ์ยับยั้งการเจริญของเซลล์มั่งเริงที่นำสนิมที่มีค่า active test ความมีค่าความเข้มข้นที่สามารถผ่าเซลล์ได้ครึ่งหนึ่ง (Median Effective Dose, ED₅₀) ไม่ควรเกิน 30 µg/ml ใน การทดสอบขั้นต้น (Prescreening) จากนั้นนำสารที่มีความเป็นพิษต่อเซลล์มาทำการทดสอบเพื่อยืนยันค่า ED₅₀ ที่ความเข้มข้นต่างๆอีกรั้ง

ในการคำนวณค่า ED₅₀ สามารถเขียนกราฟแสดงความสัมพันธ์ระหว่างความเข้มข้นของสารในแกน X และร้อยละของการเติบโตของเซลล์มั่งเริงในวันที่ 4 ในแกน Y โดยค่า ED₅₀ จะเป็นค่าความเข้มข้นของสารที่นำมาทดสอบที่สามารถยับยั้งการเจริญของเซลล์มั่งเริงได้ครึ่งหนึ่ง และ ED₅₀ มีหน่วยเป็น µg/ml

จากผลการทดสอบการออกฤทธิ์ต้านเชลล์มะเร็งของส่วนสกัดพบว่า ส่วนสกัดที่ active คือ CG-RT-CH, CG-RT-Et, CG-LE-HX และ CG-LE-Et จึงนำส่วนสกัดทั้ง 4 ส่วนนี้ไปแยกสารบริสุทธิ์สรุปได้ดังรูปที่ 3.2-3.16

3.4 การแยกสารบริสุทธิ์จากส่วนสกัดที่ active

3.4.1 การแยกด้วยวิธี TLC (Thin-Layer Chromatography)

3.4.1.1 การเตรียมแผ่น TLC

นำชิลิกาเจลมาผสาน้ำให้เป็น slurry นำไปเคลือบบนแผ่น TLC หลังจากเคลือบแล้วนำไปทำให้แห้งก่อน จากนั้นนำไปอบให้แห้งที่อุณหภูมิ 100-120 °C ครึ่งชั่วโมง

3.4.1.2 การหาระบบทัวทำละลาย

แบ่ง crude extract มาเด็กน้อย เติมตัวทำละลายลงไป นำตัวทำละลายผสมกันในอัตราส่วนต่างๆระหว่างเอกรูนและเอทิลอะซิเตต นำไปใส่ใน chamber ทำการ spot สารลงบนแผ่น TLC ด้วยหลอดคาปีลารี นำไปจุ่มใน chamber ที่ปิดฝ้าไว้รอจนตัวทำละลายเคลื่อนที่ถึงระดับที่กำหนดนำไปส่องด้วยแสงญี่วี ทำเครื่องหมายแต่ละจุดที่แยกเพื่อหาค่า R_f และจะเลือกรอบทัวทำละลายที่ทำให้สารแยกจากกันได้ดีที่สุด

3.4.2 การแยกสารด้วยคอลัมน์ไฮโดรฟอร์มิค

3.4.2.1 การเตรียมคอลัมน์

นำคอลัมน์ยึดติดกับ clamp ให้แน่น เตรียมชิลิกาเจลบรรจุในคอลัมน์ประมาณ 3 ใน 4 ของคอลัมน์และนำมาผสานกับตัวทำละลายแยกเซนตอนให้สารละลายอ่อนตัวนำถ่านออกูลิคให้ที่ปลายด้านในของคอลัมน์เพื่อป้องกันไม่ให้ชิลิกาเจลถูกชะออกมานะและใช้ทรายกลมทำให้ผิวน้ำเรียบ จากนั้นค่อย ๆ เทลงในคอลัมน์ที่ล่อน้ำอยู่ร้อนเคาะคอลัมน์เพื่อไล่ฟองอากาศหลังจากนั้นพิงคอลัมน์ทึบไว้ประมาณ 12 ชั่วโมงเพื่อให้คอลัมน์อ่อนตัว

3.4.2.2 การบรรจุสารตัวอย่าง

นำ crude extract มาเติมตัวทำละลายเพื่อละลายจากนั้นเติมชิลิกาเจลชนิดเดียวกับคอลัมน์ลงไปเล็กน้อย นำไปประเทยตัวทำละลายออกด้วยเครื่องประเทยแบบหมุนจนแห้ง นำไปบรรจุลงในคอลัมน์ที่เตรียมตัวไว้ เกลี่ยผิวน้ำของสารให้เสมอทั่วทั้งคอลัมน์แล้วเติมแมกนีเซียมซัลเฟตลงไปพอประมาณ หลังจากนั้นจะด้วยตัวทำละลายที่เตรียมไว้

3.4.2.3 การแยกสารจากคอลัมน์โคมากอฟกราฟี

ทำ gradient elution โดยการค่อยๆเพิ่มความนี๊วของระบบตัวทำละลายที่ใช้ชีสารในคอลัมน์ โดยใช้ เอทิลอะซิเตต : เอทานอล ในอัตราส่วน 5, 10, 20, 30 ..จนกระทั่ง 100% เอทิลอะซิเตต จากนั้นเก็บ eluent โดยเก็บครั้งละ 100-150 มิลลิลิตร และนำไปรับประทานตัวทำละลายออกจนเหลืออยู่พ่อประมาณ นำมา spot บน TLC โดย spot ครั้งละ 3 ขวดและตรวจสอบด้วยแสงญี่ปุ่น เพื่อดูลักษณะและหาค่า R_f ทำการรวม fraction ถ้าเป็นสารตัวเดียวกัน นำไปรับประทานให้แห้งและหั่นเป็นชิ้นๆ

3.4.3 การคัดแยกด้วยวิธี PLC (Preparative Thin-Layer Chromatography)

3.4.3.1 การหาระบบทัวทำละลาย

หาระบบทัวทำละลายที่เหมาะสมเหมือน 3.4.2

3.4.3.2 การเตรียมแผ่น PLC

เตรียมเหมือน TLC แต่ใช้กระดาษห่อหกน้ำเงิน ให้แห้งแล้วจากนั้นทำให้แห้งแล้วนำไปอบที่อุณหภูมิ 100-120 °C เป็นเวลา 2 ชั่วโมง

3.4.3.3 การแยกสาร

หลังจากแยกสารด้วยคอลัมน์โคมากอฟกราฟีแล้ว นำสารที่ยังไม่บริสุทธิ์มาแยกต่อด้วย PLC โดยนำมาเติมตัวทำละลายเล็กน้อยและสามารถดูตัวอย่างได้หมดแล้วนำไปหดบนแผ่น PLC ที่เตรียมไว้ ทิ้งให้แห้งแล้วนำไปจุ่มลงในแท่งค์ที่บรรจุตัวทำละลายอยู่ปีกฝ่าให้แห้งสนิททิ้งไว้ประมาณ 1 ชั่วโมงเมื่อถึงระดับจึงยกออกจากฝาแล้วนำไปส่องดูด้วยแสงญี่ปุ่นทำการขุด band ที่แยกได้ นำแต่ละ band ที่ได้มานำสักด้วยตัวทำละลายเอทิลอะซิเตตและกรองชิลิกาเจลออก จากนั้นนำไปรับประทานตัวทำละลายออกและหั่นเป็นชิ้นๆ

3.4.4 การตกผลึก

นำสารที่แยกจนบริสุทธิ์แล้วมาตกผลึกด้วยเมทานอล โดยใส่เมทานอลลงไปจากนั้นนำไปให้ความร้อนจนสารละลายหมด ถ้าสารละลายไม่หมดให้เพิ่มเมทานอลแล้วนำไปให้ความร้อนกรองจะขณะร้อนด้วยกระดาษกรองแบบพับเป็น นำไปให้ความร้อนใหม่เมื่อสารละลายหมดแล้วให้ปีกฝาขณะร้อนและตั้งทิ้งไว้ให้ตกผลึก ทำการกรองผลึก นำผลึกที่ได้ไปใส่ใน vacuum pump เมื่อแห้งนำไปหดหดบนแหล่ง

3.5 การพิสูจน์เอกสารยานมายา

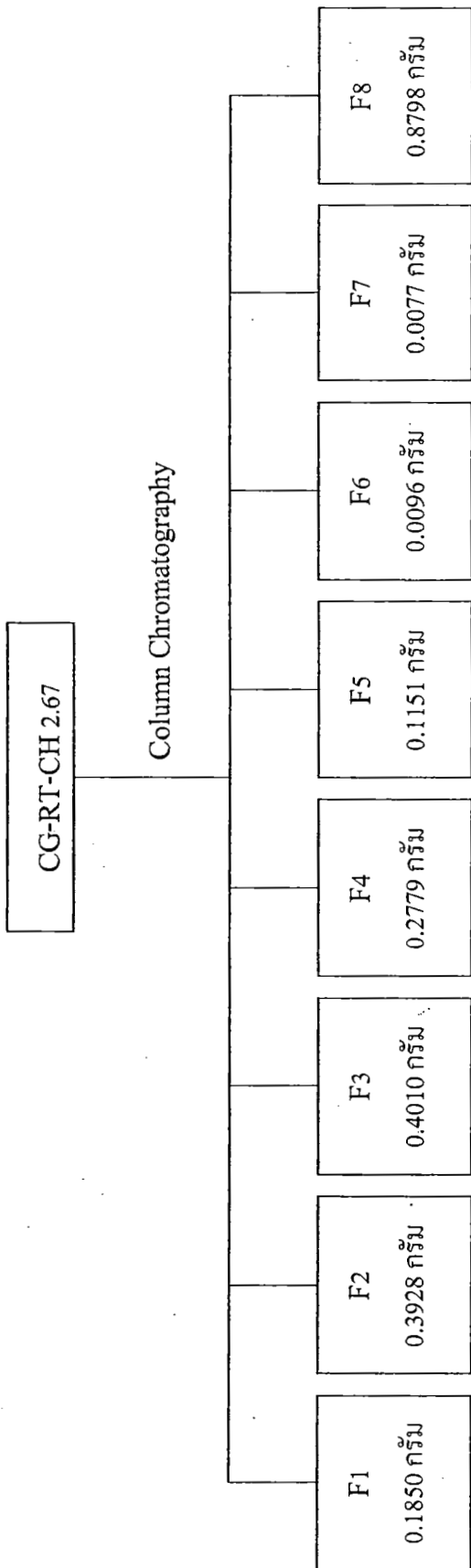
นำสารบริสุทธิ์ที่ได้ไปพิสูจน์เอกสารยานมายาโดยวิธี spectroscopy

ขั้นตอนการแยกส่วนสำคัญ CG-RT-CH, CG-RT-Et, CG-LE-HX และ CG-LE-Et รูปที่ 3.2-3.9

3.6 การทดสอบการออดกุทช์ต้านเซลล์เมะเร็งของสารบริสุทธิ์

โดยวิธี Viable Cell Count: Dye Exclusion Method ดูรายละเอียดในข้อ 3.3

สำนักหอสมุด มหาวิทยาลัยบูรพา
๑ แสนสุข อ.เมือง จ.ชลบุรี 20131



รูปที่ 3.2 บันทึกของการแยกสารบริสุทธิ์ของ CG-RT-CH

261224

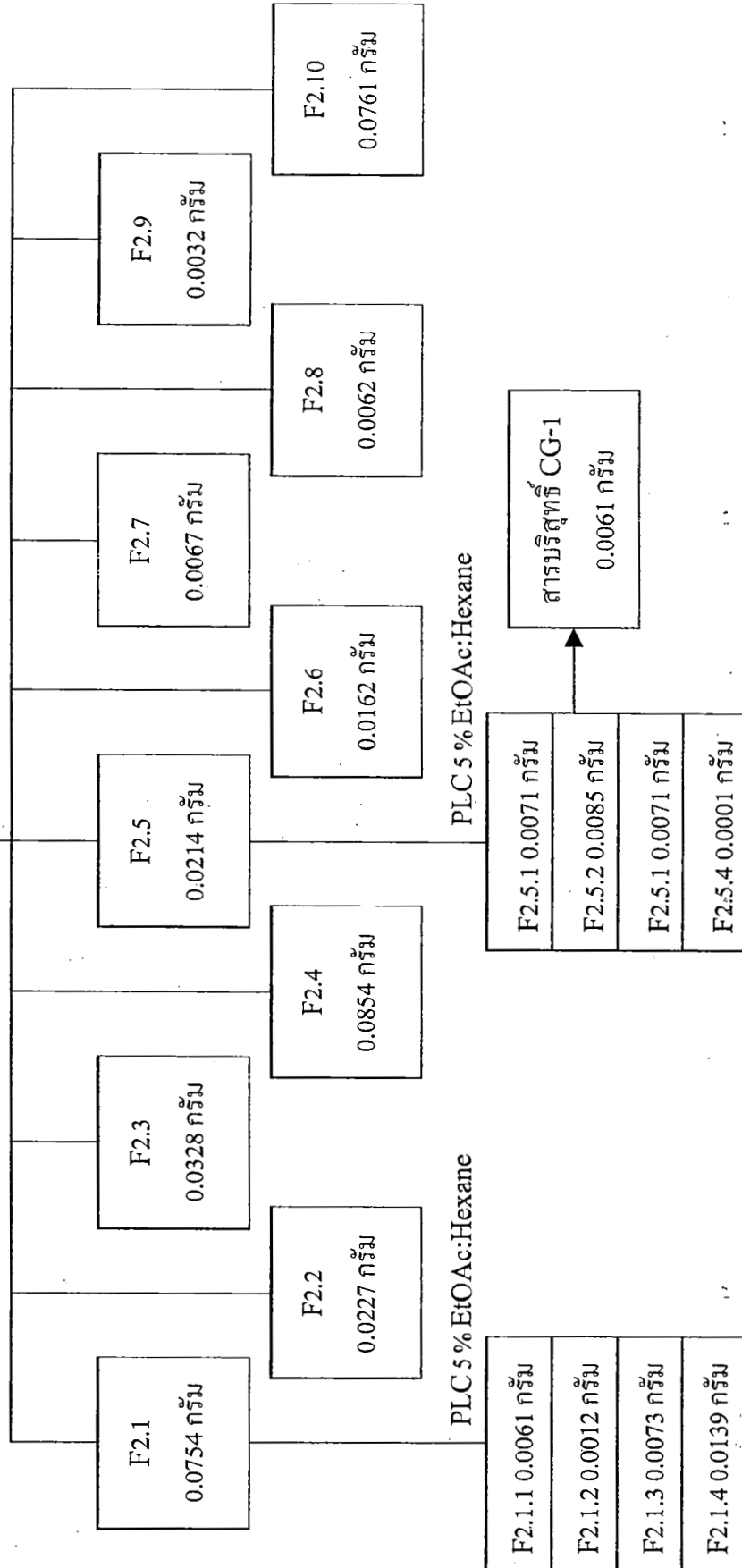
615.321

ก ๕๒๗

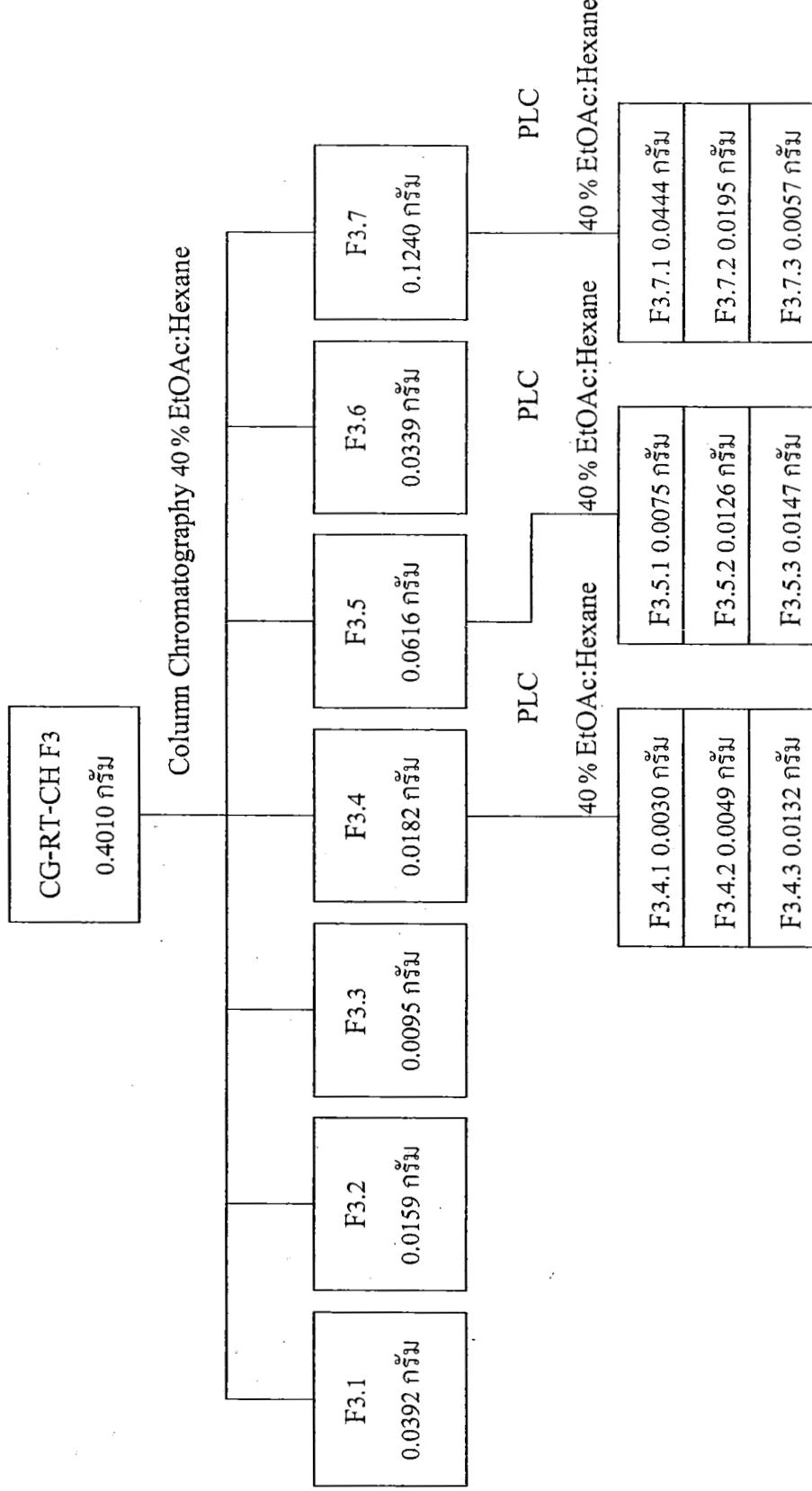
๓.๙

CG-RT-CH F2
0.3928 กิโลกรัม

Column Chromatography 10% EtOAc:Hexane



รูปที่ 3.3 ผู้ติดตั้งการแยกสารในส่วนที่ 1 ของ CG-RT-CH Fraction ที่ 2



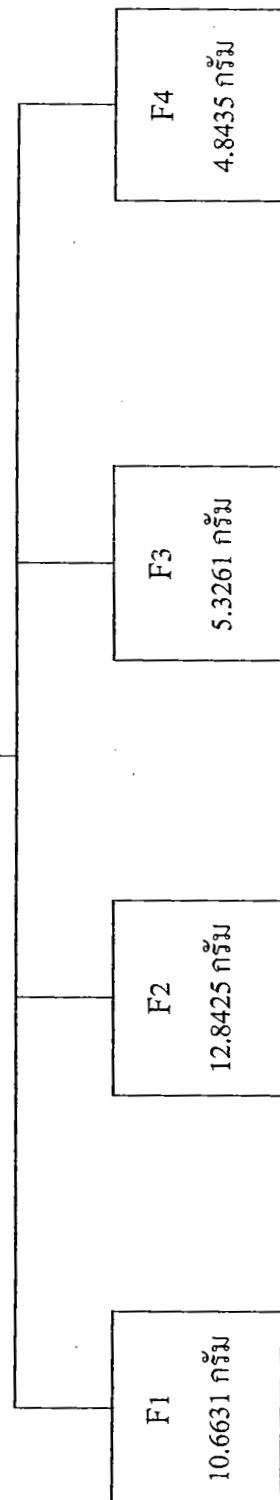
รูปที่ 3.4 บุบเพื่อการแยกสารบริสุทธิ์ของ CG-RT-CH Fraction ที่ 3

Column Chromatography 10% EtOAc:Hexane	
CG-RT-CH F8 0.8798 ກົ້ມ	
F8.5 0.0049 ກົ້ມ	F8.5 0.0049 ກົ້ມ
F8.4 0.0047 ກົ້ມ	F8.4 0.0047 ກົ້ມ
F8.5 0.0161 ກົ້ມ	F8.5 0.0049 ກົ້ມ
F8.6 0.0132 ກົ້ມ	F8.6 0.0161 ກົ້ມ
F8.7 0.0052 ກົ້ມ	F8.7 0.0132 ກົ້ມ
F8.8 0.4770 ກົ້ມ	F8.8 0.0052 ກົ້ມ
F8.9 0.4798 ກົ້ມ	F8.9 0.4770 ກົ້ມ

กรูปที่ 3.5 แสดงผลการแยกสารปฏิสูตรที่บด CG-RT-CH Fraction ที่ 8

CG-LE-HX
40.67 กรัม

Column Chromatography

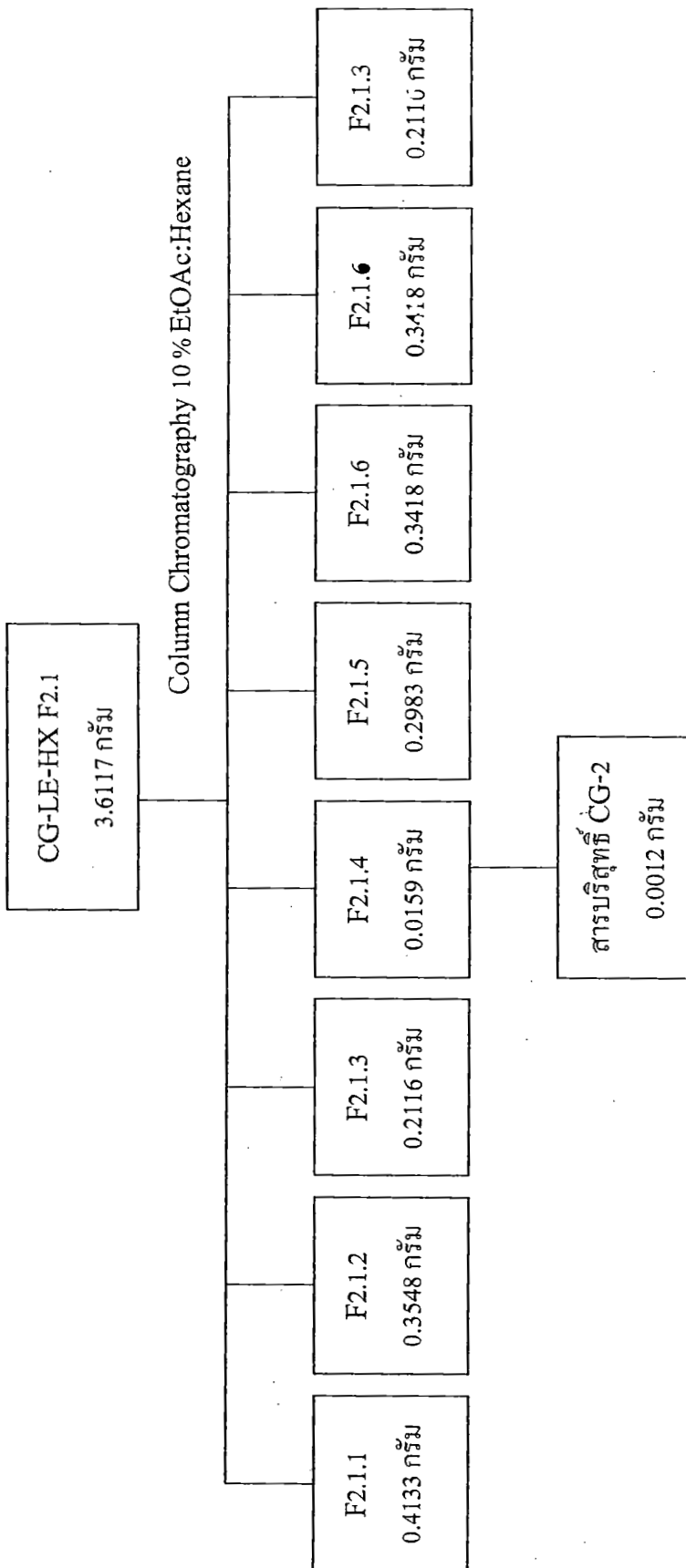


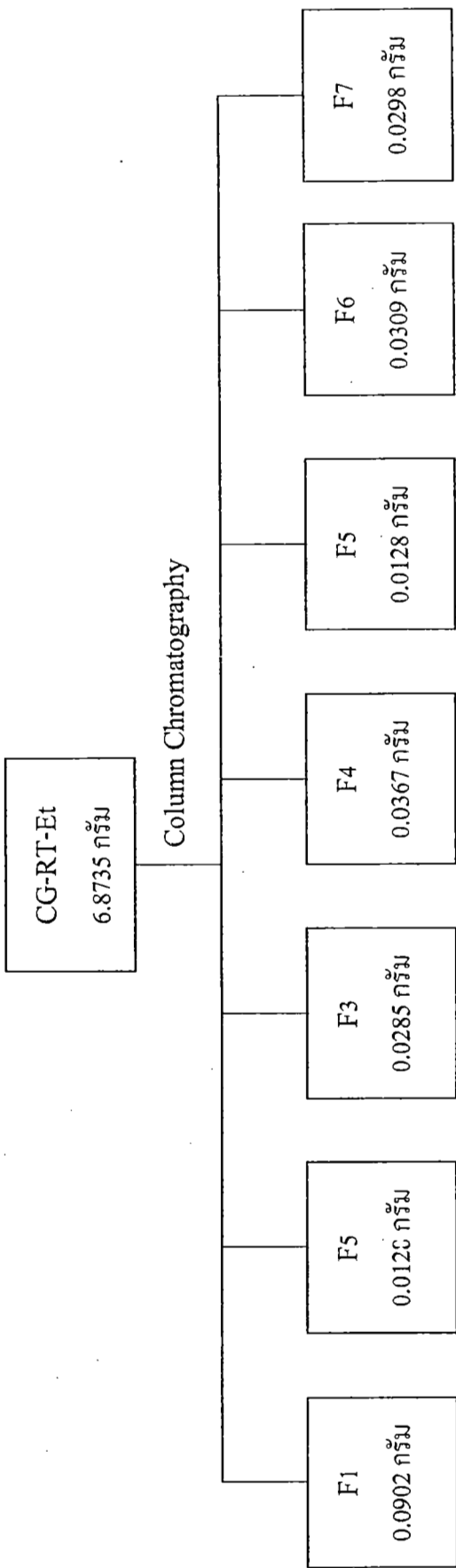
Column Chromatography
5 % EtOAc:Hexane

F1.1 0.1352 กรัม
F1.2 3.6602 กรัม
F1.3 2.8932 กรัม
F1.4 1.2722 กรัม
F1.5 0.5437 กรัม
F1.6 0.6287 กรัม

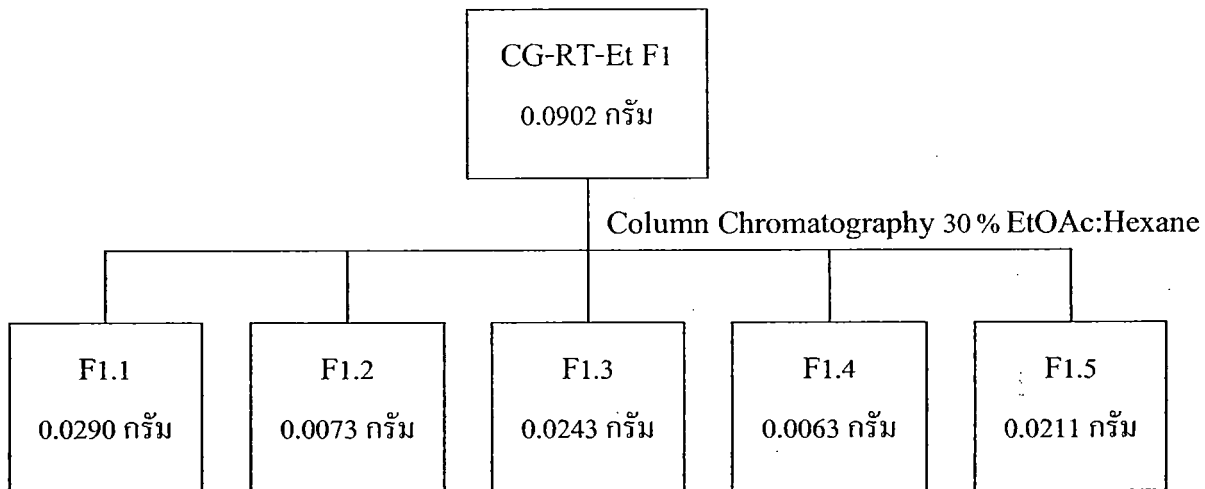
รูปที่ 3.6 ชุดต่อนการแยกสารบริสุทธิ์ของ CG-LE-HX

รูปที่ 3.7 ชุดต่อตันการแยกสารบริสุทธิ์ของ CG-LE-HX Fraction ที่ 2.1

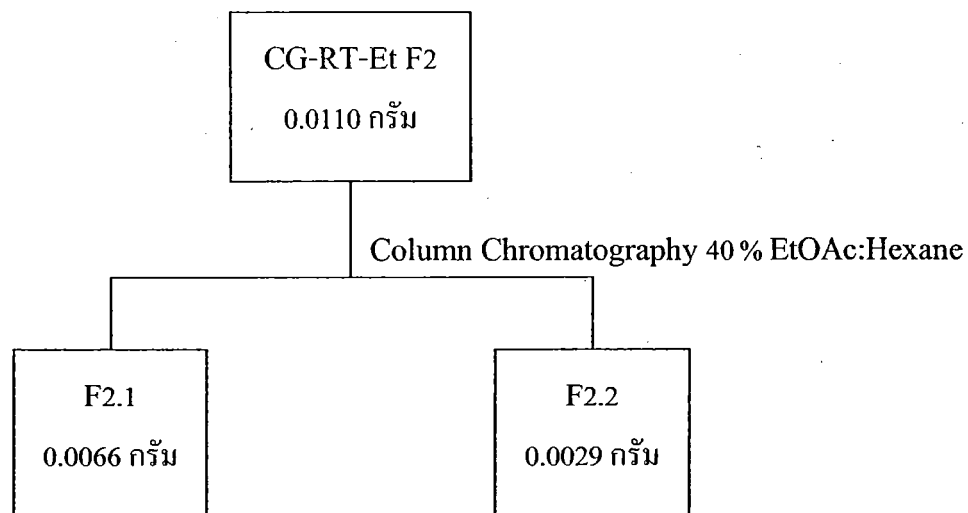




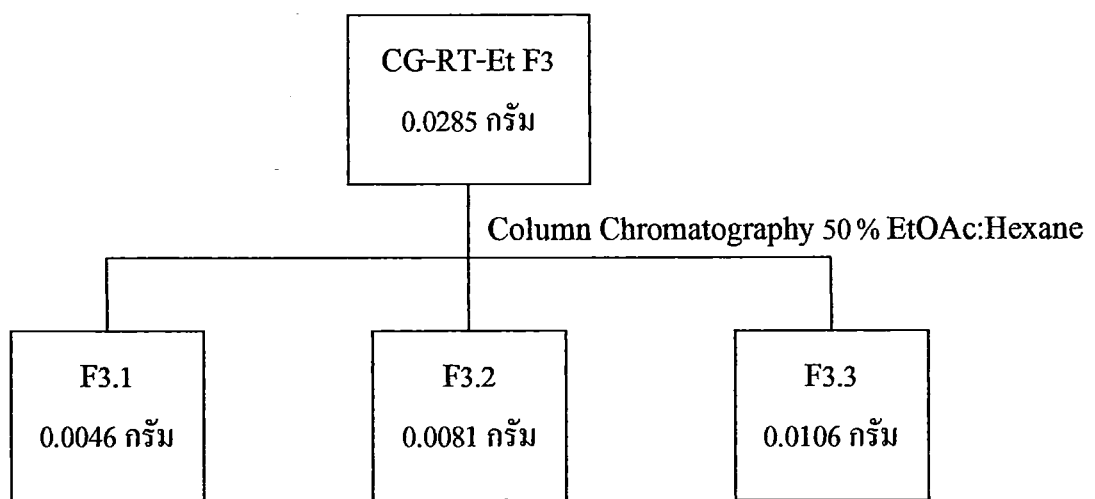
รูปที่ 3.8 ขั้นตอนการแยกสารบริสุทธิ์ของ CG-RT-Et



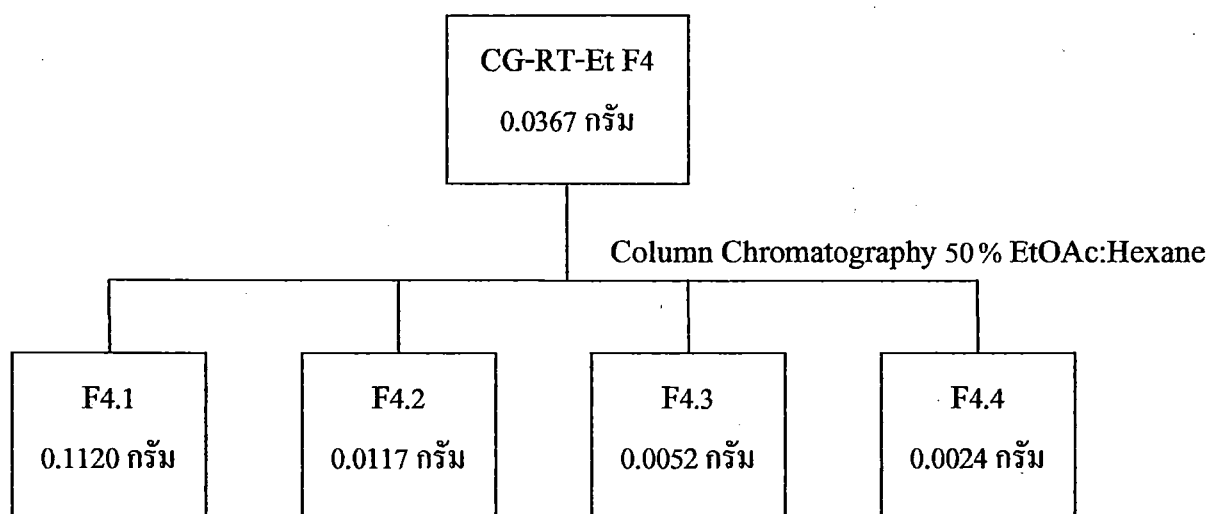
รูปที่ 3.9 ขั้นตอนการแยกสารบริสุทธิ์ของ CG-RT-Et Fraction ที่ 1



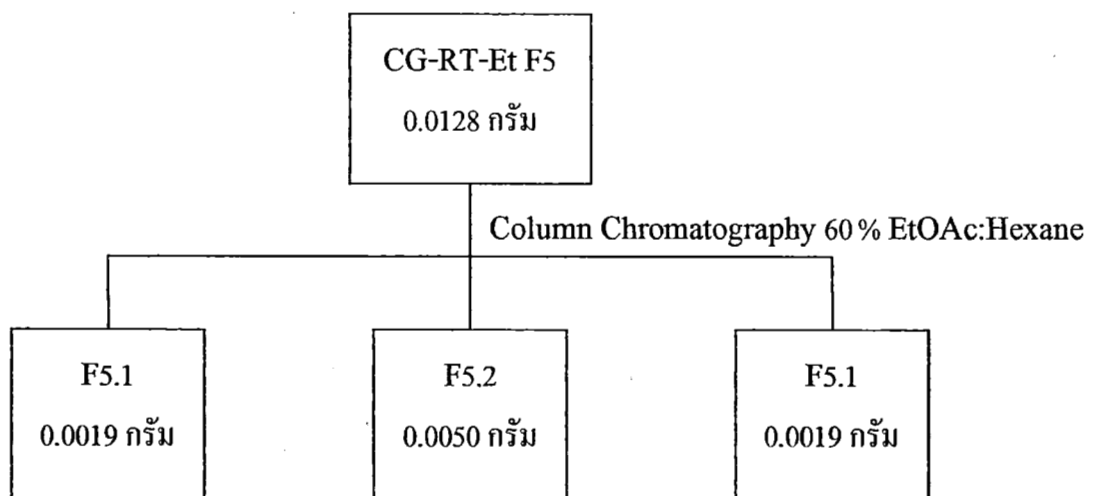
รูปที่ 3.10 ขั้นตอนการแยกสารบริสุทธิ์ของ CG-RT-Et Fraction ที่ 2



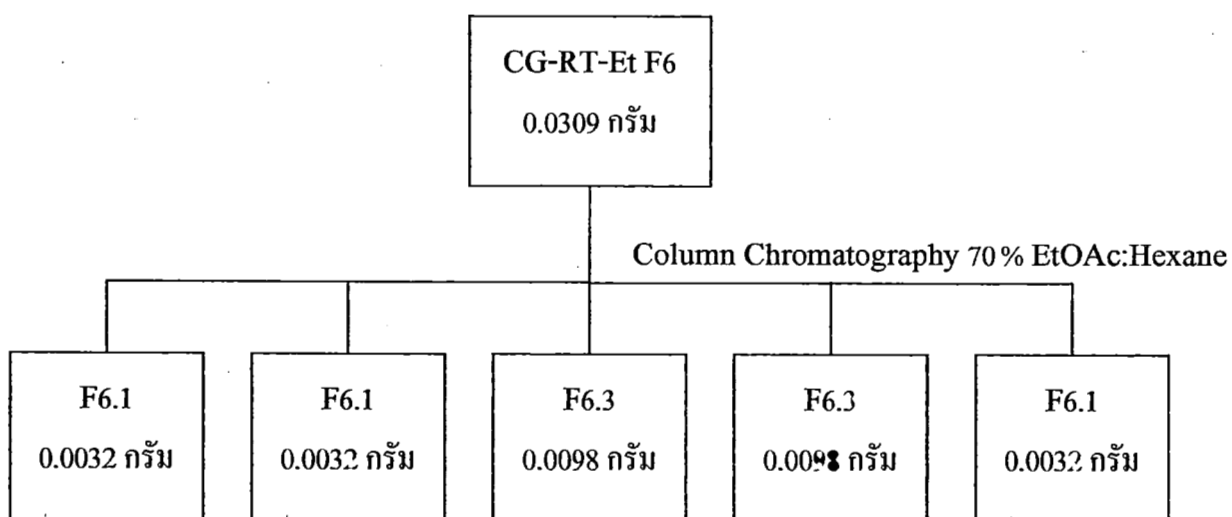
รูปที่ 3.11 ขั้นตอนการแยกสารบริสุทธิ์ของ CG-RT-Et Fraction ที่ 3



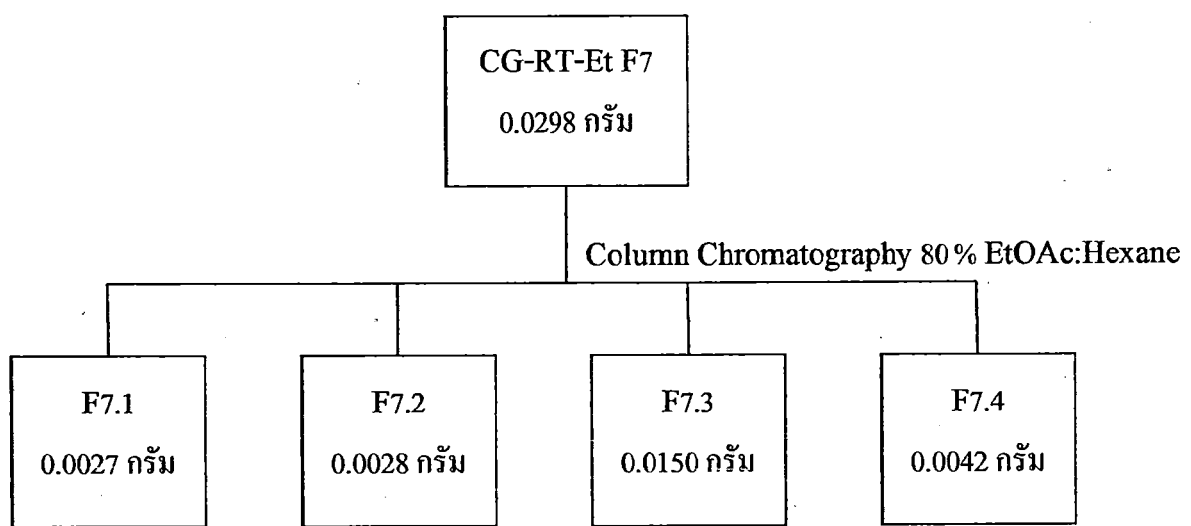
รูปที่ 3.12 ขั้นตอนการแยกสารบริสุทธิ์ของ CG-RT-Et Fraction ที่ 4



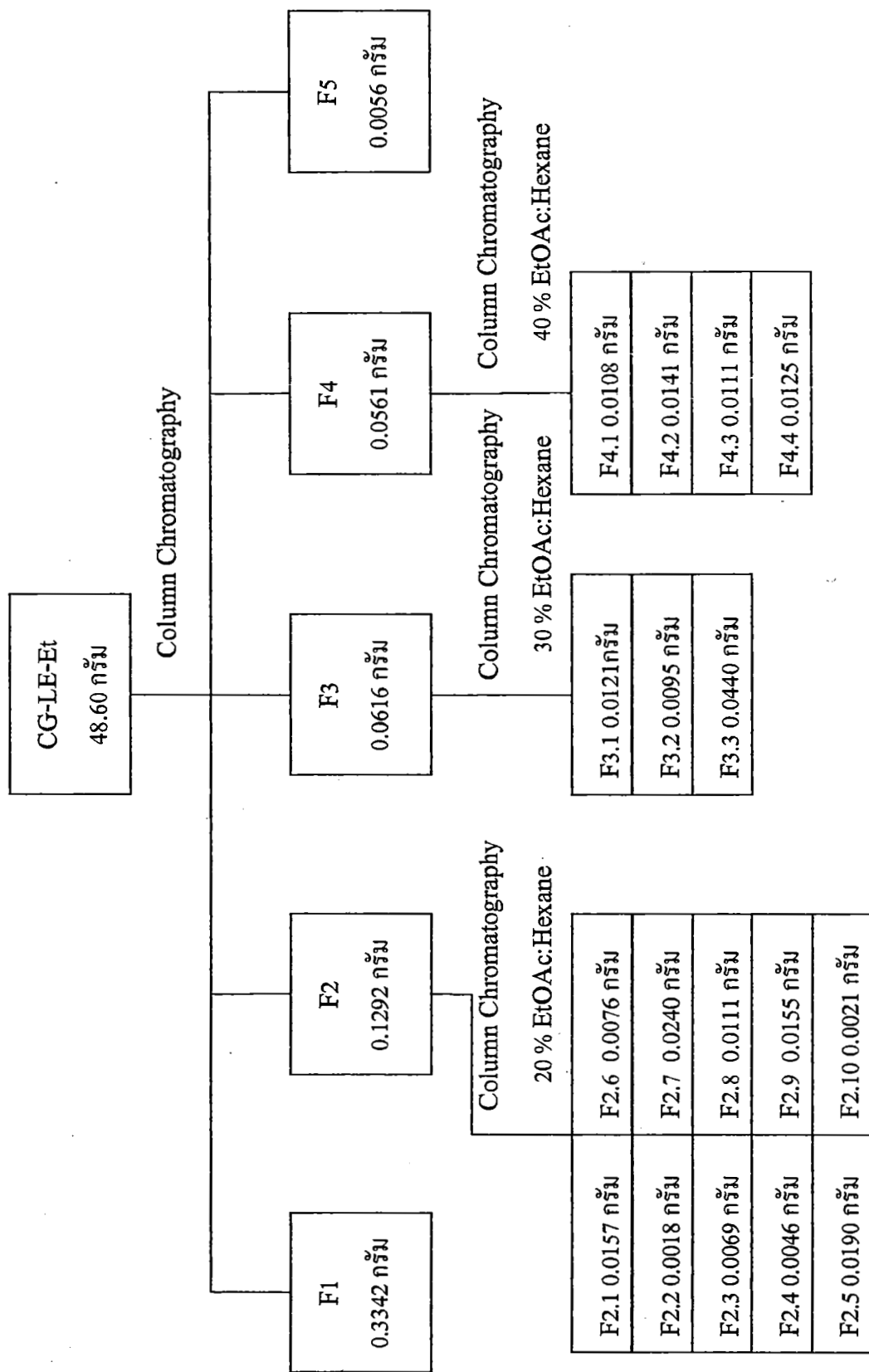
รูปที่ 3.13 ขั้นตอนการแยกสารบริสุทธิ์ของ CG-RT-Et Fraction ที่ 5



รูปที่ 3.14 ขั้นตอนการแยกสารบริสุทธิ์ของ CG-RT-Et Fraction ที่ 6



รูปที่ 3.15 ขั้นตอนการแยกสารบริสุทธิ์ของ CG-RT-Et Fraction ที่ 7



รูปที่ 3.16 ขั้นตอนการแยกสารบริสุทธิ์ของ CG-LE-Et

บทที่ 4

ผลการทดสอบ

4.1 ผลการแยกสารบริสุทธิ์จากส่วนสกัดที่ active

จากการนำราก ลำต้น และใบที่แห้งและบดละเอียดมาทำการสกัดด้วยตัวทำละลายเชก เช่น ไดคลอโรเมเทนและเอทานอล ได้ส่วนสกัดทั้งหมด 9 ส่วน ดังนี้

ตารางที่ 4.1 น้ำหนักส่วนสกัดต่าง ๆ ของคืนสามพันดา

ส่วนสกัด	รหัส	น้ำหนัก (กรัม)
ราก 2.5 กิโลกรัม		
ส่วนสกัดเชก เช่น จากราก	CG-RT-HX	16.65
ส่วนสกัด ไดคลอโรเมเทน จากราก	CG-RT-CH	2.67
ส่วนสกัด เอทานอล จากราก	CG-RT-Et	6.87
ลำต้น 2.8 กิโลกรัม		
ส่วนสกัด เชก เช่น จากลำต้น	CG-ST-HX	4.46
ส่วนสกัด ไดคลอโรเมเทน จากลำต้น	CG-ST-CH	3.21
ส่วนสกัด เอทานอล จากลำต้น	CG-ST-Et	10.28
ใบ 2.5 กิโลกรัม		
ส่วนสกัด เชก เช่น จากใบ	CG-LE-HX	40.67
ส่วนสกัด ไดคลอโรเมเทน จากใบ	CG-LE-CH	31.26
ส่วนสกัด เอทานอล จากใบ	CG-LE-Et	48.60

นำส่วนสกัดทั้ง 9 ส่วนสกัดไปทดสอบการออกฤทธิ์ต้านเชลล์มะเร็ง ได้ผลดังนี้

ตารางที่ 4.2 ผลการทดสอบความเป็นพิษต่อเซลล์มะเร็งเม็ดเลือดขาว (P388) ของสารสกัดจากต้นสามพันตา

Sample	Conc. ($\mu\text{g/ml}$)	% Cell Growth									ED_{50} ($\mu\text{g/ml}$)	
		Exp.1		Exp.2		Exp.4			Exp.4			
		30	5	10	20	10	30	30	10	30	30	
1.1 RT-HX	91.72	-	-	-	-	-	-	-	-	-	-	>30
1.2 RT-CH	2.18	-	-	-	73.39	24.40	3.56	74.75	53.60	23.77	-	~17
1.3 RT-ET	0	96.35	95.13	0	91.02	51.86	0	81.64	75.74	24.75	-	~23
2.1 ST-HX	0	86.98	81.77	81.42	96.27	98.64	77.46	-	-	-	-	>30
2.2 ST-CH	99.33	-	-	-	-	-	-	-	-	-	-	>30
2.3 ST-ET	87.08	-	-	-	-	-	-	-	-	-	-	>30
3.1 LE-HX	44.46	-	-	-	-	-	-	-	-	-	-	~30
3.2 LE-CH	84.23	-	-	-	-	-	-	-	-	-	-	>30
3.3 LE-ET	0	81.42	85.94	0	91.86	1.02	0	88.19	0	0	-	~13

นำส่วนสกัดไดคอลโรมีเทนจากราก (CG-RT-CH) 16.65 กรัม ส่วนสกัดเอทานอลจากราก (CG-RT-Et) 6.87 กรัม ส่วนสกัดเอกซ์ไซน์จากใบ (CG-LE-HX) 40.76 กรัม และส่วนสกัดเอทานอลจากใบ (CG-LE-Et) 48.6 กรัม มาแยกสารบริสุทธิ์ได้ผลการทดลองดังนี้

นำส่วนสกัดทั้ง 4 ส่วนสกัดมาแยกโดยวิธีโครโนไฟฟ์โดยเริ่มจะตัวยาเอกซ์ไซน์แล้วค่อยๆ เพิ่มขึ้นของตัวทำละลายโดยเพิ่มอัตราส่วนระหว่างเอทิลอะซีเทตต่อเอกซ์ไซน์จาก 5% เอทิลอะซีเทตต่อเอกซ์ไซน์ถึง 100% เอทิลอะซีเทตและ 100% ตามลำดับ และเก็บสารละลายเป็น fraction นำแต่ละ fraction มา spot และรวมสารที่มี spot เมื่อนับไว้ด้วยกันได้ fraction ต่าง ๆ ดังรูปที่ 3.2 - 3.16 และตารางที่ 4.3 - 4.27

CG-RT-CH

ตารางที่ 4.3 น้ำหนัก ลักษณะของแต่ละ fraction ของ CG-RT-CH

Fraction	น้ำหนัก (กรัม)	ลักษณะสารที่ได้
F 1	0.185	ของเหลวสีเขียวอ่อน
F 1	0.3928	ของเหลวสีเขียวอ่อน
F 1	0.105	ของเหลวสีเขียวอ่อน
F 4	0.2779	ของเหลวสีเขียวอ่อน
F 1	0.1151	ของเหลวสีเขียวอ่อน
F 1	0.0096	ของเหลวสีเขียวอ่อน
F 1	0.0096	ของเหลวสีเขียวอ่อน
F 4	0.8798	ของเหลวสีเขียวอ่อน

นำ fraction ที่ 2 3 และ 8 มาแยกต่อด้วยคอลัมน์โคมาราฟิ ส่วน fraction อื่นมีปริมาณน้อย และไม่น่าสนใจจึงไม่นำมาแยกต่อ

Fraction ที่ 2 นำมาแยกต่อด้วยคอลัมน์โคอมาราฟิด้วยระบบตัวทำละลาย 10% EtOAc:Hexane ได้ผลดังตารางที่ 4.4

ตารางที่ 4.4 น้ำหนัก ลักษณะของ fraction ที่ 2

Fraction	น้ำหนัก (กรัม)	ลักษณะสารที่ได้
F 2.1	0.0754	ของเหลวใส
F 2.2	0.0227	ของเหลวสีเข้ม
F 2.1	0.0728	ของเหลวสีเข้ม
F 2.4	0.0854	ของเหลวสีเข้ม
F 2.1	0.0754	ของเหลวสีเขียว
F 2.6	0.0162	ของเหลวสีเขียว
F 2.7	0.0067	ของเหลวสีเขียว
F 2.7	0.0067	ของเหลวสีเขียว
F 2.7	0.0032	ของเหลวสีเขียว
F 2.10	0.0754	ของเหลวสีเขียว

นำ fraction ที่ 2.1 และ 2.5 มาแยกต่อด้วย PLC ส่วน fraction อื่นๆ ไม่น่าสนใจจึงไม่นำมาแยกต่อ Fraction ที่ 2.1 และ 2.5 นำมาแยกต่อด้วยคอลัมน์โกรมาโทกราฟด้วยระบบตัวทำละลาย 40% EtOAc:Hexane ได้ผลดังตารางที่ 4.5 และ 4.6

ตารางที่ 4.5 น้ำหนัก ลักษณะของ fraction ที่ 2.1

Fraction	น้ำหนัก (กรัม)	ลักษณะสารที่ได้
F 2.1.1	0.0067	ของเหลวใส
F 2.1.2	0.0012	ของเหลวใส
F 2.1.3	0.0032	ของเหลวใส
F 2.1.1	0.0754	ของเหลวใส

ตารางที่ 4.6 น้ำหนัก ลักษณะของ fraction ที่ 2.5

Fraction	น้ำหนัก (กรัม)	ลักษณะสารที่ได้
F 2.5.1	0.0071	ของเหลวใส
F 2.5.2	0.0085	ของแข็งสีขาว
F 2.5.1	0.0071	ของเหลวใส
F 2.5.4	0.0071	ของเหลวใส

จากตารางที่ 4.5 F 2.5.2 เป็นของแข็งสีขาวนำมาระดึงด้วยแมลง丹 ทำให้แห้งด้วย vacuum pump ได้ผลึกสีขาว หนัก 0.0061 กรัม จุดหลอมเหลว 177-179°C

ตารางที่ 4.7 น้ำหนัก ลักษณะของ fraction ที่ 3

Fraction	น้ำหนัก (กรัม)	ลักษณะสารที่ได้
F 3.1	0.0392	ของเหลวใส
F 3.2	0.0159	ของเหลวสีเหลือง
F 3.3	0.0071	ของเหลวสีเขียวอ่อน
F 3.3	0.0392	ของเหลวสีเขียวอ่อน
F 3.3	0.0616	ของเหลวสีเขียวอ่อน
F 3.6	0.0339	ของเหลวสีเขียวอ่อน
F 3.2	0.1240	ของเหลวสีเขียวอ่อน

จากตารางที่ 4.7 นำ fraction ที่ 3.4 3.5 และ 3.7 มาแยกต่อคับย PLC ด้วยระบบตัวทำละลาย 40% EtOAc:Hexane ได้ผลดังตารางที่ 4.7-4.9 ส่วน fraction อื่นๆ มีปริมาณน้อย ไม่น่าสนใจจึงไม่นำมาแยกต่อ

ตารางที่ 4.8 น้ำหนัก ลักษณะของ fraction ที่ 3.4

Fraction	น้ำหนัก (กรัม)	ลักษณะสารที่ได้
F 3.4.1	0.003	ของเหลวสีเขียวอ่อน
F 3.4.1	0.0049	ของเหลวสีเขียวเข้ม
F 3.4.1	0.0132	ของเหลวสีเขียวเข้ม

ตารางที่ 4.9 น้ำหนัก ลักษณะของ fraction ที่ 3.5

Fraction	น้ำหนัก (กรัม)	ลักษณะสารที่ได้
F 3.5.1	0.0075	ของเหลวสีเขียวเหลือง
F 3.5.2	0.0126	ของเหลวสีเขียวเข้ม
F 3.5.1	0.0132	ของเหลวสีเขียวเข้ม

ตารางที่ 4.10 น้ำหนัก ลักษณะของ fraction ที่ 3.7

Fraction	น้ำหนัก (กรัม)	ลักษณะสารที่ได้
F 3.5.1	0.0444	ของเหลวสีเขียวอ่อน
F 3.5.2	0.0049	ของเหลวสีเขียวอ่อน
F 3.7.3	0.0075	ของเหลวสีเขียวอ่อน

Fraction ที่ 8 นำมาแยกต่อศิวะกอลัมน์โปรแกรมโทกราฟด้วยระบบตัวทำละลาย 10%

EtOAc:Hexane ได้ผลดังตารางที่ 4.11

ตารางที่ 4.11 น้ำหนัก ลักษณะของ fraction ที่ 8

Fraction	น้ำหนัก (กรัม)	ลักษณะสารที่ได้
F 8.1	0.0054	ของเหลวสีเหลืองใส
F 8.2	0.0065	ของเหลวสีเหลืองใส
F 8.1	0.0065	ของเหลวสีเหลืองใส
F 8.2	0.0065	ของเหลวสีเหลืองใส
F 8.2	0.0054	ของเหลวสีเขียวเข้ม
F 8.1	0.0065	ของเหลวสีเขียวเข้ม
F 8.1	0.0132	ของเหลวสีเขียวเข้ม
F 8.1	0.0132	ของเหลวสีเขียวเข้ม
F 8.1	0.4770	ของเหลวสีเขียวเข้ม

จากสารทั้งหมดในตารางที่ 4.11 พบร่วมกันได้สารบริษัทต้นน้ำมากและไม่น้ำสนิใจจึงไม่นำมาแยกต่อ

CG-LE-HX

ตารางที่ 4.12 น้ำหนัก ลักษณะของแต่ละ fraction ของ CG-LE-HX

Fraction	น้ำหนัก (กรัม)	ลักษณะสารที่ได้
F 1	0.0054	สีเขียวเหลือง
F 2	0.0065	สีเขียวเข้ม
F 2	0.0065	สีเขียวเข้ม
F 4	0.0047	สีเขียวเข้ม

จากตารางที่ 4.12 นำ fraction ที่ 1 และ 2 มาแยกต่อซึ่งได้ผลดังตารางที่ 4.13 และ 4.14 ส่วน fraction ที่ 3 และ 4 มีคลอโรฟิลล์จำนวนมากจึงไม่ทำการแยกต่อ

ตารางที่ 4.13 น้ำหนัก ลักษณะของ fraction ที่ 1

Fraction	น้ำหนัก (กรัม)	ลักษณะสารที่ได้
F 1.1	0.1352	ของเหลวหนืดสีขาว
F 1.1	0.6602	ของเหลวหนืดสีเหลือง
F 1.1	2.8932	ของเหลวสีน้ำตาล
F 1.1	1.2722	ของเหลวสีเขียว
F 1.1	0.5437	ของเหลวสีเขียว
F 1.6	0.6287	ของเหลวสีเขียว

ตารางที่ 4.14 น้ำหนัก ลักษณะของ fraction ที่ 2

Fraction	น้ำหนัก (กรัม)	ลักษณะสารที่ได้
F 2.1	3.6117	ของเหลวหนืดสีเหลือง
F 2.1	2.1464	ของเหลวหนืดสีเขียว
F 2.1	2.0544	ของเหลวหนืดสีเขียว
F 2.4	1.3131	ของเหลวหนืดสีเขียว
F 2.5	0.5924	ของเหลวหนืดสีเขียว

นำ fraction ทั้งหมดจากตารางที่ 4.13 ไปพิสูจน์เอกลักษณ์โดย NMR fraction 2.1 นำส่วนใจจึงนำมาแยกต่อด้วยคลอลัมน์ โคมาราโทกราฟีด้วยระบบตัวทำละลาย 10% EtOAc:Hexane ได้ผลดังตารางที่ 4.15

ตารางที่ 4.15 น้ำหนัก ลักษณะของ fraction ที่ 2.1

Fraction	น้ำหนัก (กรัม)	ลักษณะสารที่ได้
F 2.1.1	0.4133	ของเหลวหนืดสีขาว
F 2.1.2	0.3548	ของเหลวหนืดสีขาว
F 2.1.3	0.2116	ของเหลวหนืดสีน้ำตาล
F 2.1.1	0.0159	ของแข็งสีขาว
F 2.1.2	0.2983	ของเหลวหนืดสีขาว
F 2.1.1	0.3418	ของเหลวหนืดสีขาว
F 2.1.2	0.3548	ของเหลวหนืดสีขาว
F 2.1.8	0.4110	ของเหลวหนืดสีขาว

จากตารางที่ 4.14 พนวณ F 2.1.4 เป็นของแข็งสีขาว จึงนำมาตอกผลีกด้วยมีดหานอล ได้สารบริสุทธิ์ CG-2 0.0012 กรัม ผลีกรูปเปิร์ม จุดหลอมเหลว 137-139 °C

CG-RT-Et

ตารางที่ 4.16 น้ำหนัก ถักยณะของแต่ละ fraction ของ CG-RT-Et

Fraction	น้ำหนัก (กรัม)	ถักยณะสารที่ได้
F 1	0.0902	ของเหลวสีเขียวเข้ม
F 1	0.011	ของเหลวสีเขียวเข้ม
F 3	0.0285	ของเหลวสีเขียวเข้ม
F 4	0.0367	ของเหลวสีเขียวเข้ม
F 3	0.0128	ของเหลวสีเขียวเข้ม
F 6	0.0902	ของเหลวสีเขียวเข้ม
F 3	0.0298	ของเหลวสีเขียวเข้ม

นำทุก fraction จากตารางที่ 4.16 มาแยกต่อด้วยคอลัมน์ “โคมไฟกราฟ” ได้ผลดังตารางที่ 4.17-4.23

ตารางที่ 4.17 น้ำหนัก ถักยณะของ fraction ที่ 1

Fraction	น้ำหนัก (กรัม)	ถักยณะสารที่ได้
F 1.1	0.0120	ของเหลวสีเขียวเข้ม
F 1.2	0.0073	ของเหลวสีเขียวเข้ม
F 1.1	0.0235	ของเหลวสีเขียวเข้ม
F 1.4	0.0063	ของเหลวสีเขียวเข้ม
F 1.1	0.0298	ของเหลวสีเขียวเข้ม

ตารางที่ 4.18 น้ำหนัก ลักษณะของ fraction ที่ 2

Fraction	น้ำหนัก (กรัม)	ลักษณะสารที่ได้
F 2.1	0.0066	ของเหลวสีเขียวเข้ม
F 2.2	0.0029	ของเหลวสีเขียวเข้ม

ตารางที่ 4.19 น้ำหนัก ลักษณะของ fraction ที่ 3

Fraction	น้ำหนัก (กรัม)	ลักษณะสารที่ได้
F 2.1	0.0066	ของเหลวสีเขียวเข้ม
F 2.2	0.0066	ของเหลวสีเขียวเข้ม
F 3.3	0.0066	ของเหลวสีเขียวเข้ม

ตารางที่ 4.20 น้ำหนัก ลักษณะของ fraction ที่ 4

Fraction	น้ำหนัก (กรัม)	ลักษณะสารที่ได้
F 4.1	0.1120	ของเหลวสีเขียวเข้ม
F 4.1	0.0117	ของเหลวสีเขียวเข้ม
F 4.1	0.0052	ของเหลวสีเขียวเข้ม
F 4.1	0.1120	ของเหลวสีเขียวเข้ม

ตารางที่ 4.21 น้ำหนัก ลักษณะของ fraction ที่ 5

Fraction	น้ำหนัก (กรัม)	ลักษณะสารที่ได้
F 5.1	0.0052	ของเหลวสีเขียวเข้ม
F 4.1	0.005	ของเหลวสีเขียวเข้ม
F 5.1	0.0039	ของเหลวสีเขียวเข้ม

ตารางที่ 4.22 น้ำหนัก ลักษณะของ fraction ที่ 6

Fraction	น้ำหนัก (กรัม)	ลักษณะสารที่ได้
F 6.1	0.0032	ของเหลวสีเขียวเข้ม
F 6.2	0.0036	ของเหลวสีเขียวเข้ม
F 6.2	0.0032	ของเหลวสีเขียวเข้ม
F 6.4	0.0036	ของเหลวสีเขียวเข้ม
F 6.5	0.0032	ของเหลวสีเขียวเข้ม

ตารางที่ 4.23 น้ำหนัก ลักษณะของ fraction ที่ 7

Fraction	น้ำหนัก (กรัม)	ลักษณะสารที่ได้
F 6.1	0.0027	ของเหลวสีเขียวเข้ม
F 7.2	0.0028	ของเหลวสีเขียวเข้ม
F 6.5	0.0150	ของเหลวสีเขียวเข้ม
F 7.4	0.0032	ของเหลวสีเขียวเข้ม

นำทุก fraction จากตารางที่ 4.16-4.22 มาทดสอบด้วย TLC พบร้าส่วนใหญ่เป็นคลอโรฟิลล์จึงนำทุก fraction ไปพิสูจน์เอกลักษณ์โดย NMR พบร้าไม่มี fraction ใดน่าสนใจจึงไม่ทำการแยกต่อ

CG-LE-Et

ตารางที่ 4.24 น้ำหนัก ลักษณะของแต่ละ fraction ของ CG-LE-Et

Fraction	น้ำหนัก (กรัม)	ลักษณะสารที่ได้
F 1	0.3342	ของเหลวสีเขียวเข้ม
F 2	0.1292	ของเหลวสีเขียวเข้ม
F 2	0.0616	ของเหลวสีเขียวเข้ม
F 4	0.0561	ของเหลวสีเขียวเข้ม
F 1	0.0056	ของเหลวสีเขียวเข้ม

นำ fraction ที่ 2 3 และ 4 ไปแยกต่อด้วยคอลัมน์โคมาราฟิคิวระบบตัวทำละลาย 20% 30% และ 40% EtOAc:Hexane ตามลำดับ ได้ผลดังตารางที่ 4.25-4.27

ตารางที่ 4.25 น้ำหนัก ลักษณะของ fraction ที่ 2

Fraction	น้ำหนัก (กรัม)	ลักษณะสารที่ได้
F 2.1	0.0157	ของเหลวสีเขียวเข้ม
F 2.2	0.0056	ของเหลวสีเขียวเข้ม
F 2.2	0.0069	ของเหลวสีเขียวเข้ม
F 2.2	0.0069	ของเหลวสีเขียวเข้ม
F 2.2	0.0190	ของเหลวสีเขียวเข้ม
F 2.6	0.0069	ของเหลวสีเขียวเข้ม
F 2.7	0.0240	ของเหลวสีเขียวเข้ม
F 2.6	0.0157	ของเหลวสีเขียวเข้ม
F 2.2	0.0155	ของเหลวสีเขียวเข้ม
F 2.10	0.0021	ของเหลวสีเขียวเข้ม

ตารางที่ 4.26 น้ำหนัก ลักษณะของ fraction ที่ 3

Fraction	น้ำหนัก (กรัม)	ลักษณะสารที่ได้
F 3.1	0.0121	ของเหลวหนืดสีเขียวเข้ม
F 3.1	0.0095	ของเหลวหนืดสีเขียวเข้ม
F 3.1	0.0440	ของเหลวหนืดสีเขียวเข้ม

ตารางที่ 4.27 น้ำหนัก ลักษณะของ fraction ที่ 4

Fraction	น้ำหนัก (กรัม)	ลักษณะสารที่ได้
F 3.1	0.0410	ของเหลวหนืดสีเขียวเข้ม
F 4.2	0.0121	ของเหลวหนืดสีเขียวเข้ม
F 4.2	0.0121	ของเหลวหนืดสีเขียวเข้ม
F 4.4	0.0121	ของเหลวหนืดสีเขียวเข้ม

นำทุก fraction จากตารางที่ 4.24-4.26 มาทดสอบด้วย TLC พนว่าส่วนใหญ่เป็นคลอโรฟิลล์ จึงนำทุก fraction ไปพิสูจน์เอกลักษณ์โดย NMR พนว่าไม่มี fraction ใดน่าสนใจจึงไม่ทำการแยกต่อ

จากการแยกสารบริสุทธิ์จากส่วนสกัดที่ active ทั้งหมด พบว่าได้สารบริสุทธิ์จากส่วนสกัด ได้
คลอโรมีเทนจากราก (CG-RT-CH) ให้สารบริสุทธิ์ CG-1 และส่วนสกัดเอทานอลจากใบ (CG-
LE-HX) ให้สารบริสุทธิ์ CG-2 นำสารบริสุทธิ์ทั้งสองไปพิสูจน์เอกลักษณ์โดย IR และ NMR ให้ผลการ
ทดลองดังตารางที่ 4.28-4.33

ตารางที่ 4.28 ข้อมูลจาก IR-spectra ของ CG-1

ความถี่ (cm^{-1})	หมู่ฟังก์ชัน
3439.1	O-H stretch
3439.1	C-H stretch
3439.1	C-H stretch CH_2
2863.4	$\text{sp}^3\text{C-H}$ stretch
2863.4	C=C stretch
3439.1	CH_2 bend
1380.6	CH_2 bend
2063.4	C-O stretch
879.2	=C-H out-of-plane bending

ตารางที่ 4.29 ข้อมูลจาก $^1\text{H-NMR}$ spectra ของ CG-1

ค่า chemical shift (ppm)	ชนิดของโปรตอน
0.78, s	C-CH ₃
0.78, s	C-CH ₃
0.85, s	C-CH ₃
0.78, s	C-CH ₃
0.85, s	C-CH ₃
1.05, s	C-CH ₃
1.27, s	C-CH ₃
1.28, s	C-CH ₃
1.28, s	C-CH ₃
1.41, s	C-CH ₃
0.78, s	C-CH ₃
1.68, s	CH ₃ -CH=C
1.94, m	C-CH ₂ -C
1.94, m	CH ₃ -CH=C
3.20, m	CH-O
4.58, m	HC=CH ₂
3.20, m	=CH-CH ₂
1.60-0.70, m	CH-, CH ₂ -

ตารางที่ 4.30 ข้อมูลจาก ^{13}C -NMR spectra ของ CG-1

ค่า chemical shift (ppm)	ชนิดของการบอน
14.56	R-CH ₃
14.56	R-CH ₃
18.33	R-CH ₃
14.56	R-CH ₃ , R-CH ₂ -R
27.99	R-CH ₂ -R
14.56	R-CH ₂ -R, R ₃ CH, R ₄ C
14.56	R-CH ₂ -R, R ₃ CH, R ₄ C
40.86	R-CH ₂ -R, R ₃ CH, R ₄ C
27.99	R ₃ CH, R ₄ C
27.99	R ₃ CH, R ₄ C
14.56	R ₃ CH, R ₄ C
14.56	-C-O-
109.32	-C=C-
109.32	-C=C-

ตารางที่ 4.31 ข้อมูลจาก IR-spectra ของ CG-2

ความถี่ (cm^{-1})	หมู่พิงก์ชัน
3439.1	O-H stretch
3439.1	C-H stretch CH_2
2863.4	$\text{sp}^3\text{C-H stretch}$
1738.2	C=C stretch
1738.2	C=C stretch
1738.2	CH_2 bend
3439.1	CH_2 bend
3439.1	C-O stretch

ตารางที่ 4.32 ข้อมูลจาก $^1\text{H-NMR}$ spectra ของ CG-2

ค่า chemical shift (ppm)	ชนิดของโปรตอน
0.70, s	C-CH ₃
0.70, s	C-CH ₃
0.81, s	C-CH ₃
0.70, s	C-CH ₃
0.70, s	C-CH ₃
0.70, s	C-CH ₃
0.87, s	C-CH ₃
0.70, s	C-CH ₃
0.70, s	C-CH ₃
0.70, s	C-CH ₃
1.60, m	C-CH ₂ -C
1.85,m	C-CH ₂ -C
1.35,m	CH ₂ -C=O
1.35,m	CH ₂ -C=O
1.60, m	CH-O
1.35,m	HC=CH ₂
5.16, m	HC=CH ₂
0.70, s	C-CH ₃
1.40-0.70, m	HC=CH ₂

ตารางที่ 4.33 ข้อมูลจาก ^{13}C -NMR spectra ของ CG-2

ค่า chemical shift (ppm)	ชนิดของสารบอน
18.78	R-CH ₃
18.78	R-CH ₃
21.21	R-CH ₃ , R-CH ₂ -R
18.78	R-CH ₃ , R-CH ₂ -R
18.78	R-CH ₃ , R-CH ₂ -R
18.78	R-CH ₃ , R-CH ₂ -R
31.92	R-CH ₂ -R, R ₃ CH, R ₄ C
18.78	R-CH ₂ -R, R ₃ CH, R ₄ C
18.78	R-CH ₂ -R, R ₃ CH, R ₄ C
18.78	R-CH ₂ -R, R ₃ CH, R ₄ C
18.78	R ₃ CH, R ₄ C
18.78	R ₃ CH, R ₄ C
18.78	R ₃ CH, R ₄ C
71.81	-C-O-
18.78	-C-●-
121.90	R-CH ₃
121.90	-C-●-
135.37	-C=C-
121.90	-C=C-

ตารางที่ 4.34 ผลการทดสอบความเป็นพิษต่อเซลล์มะเร็งเม็ดเกือดขาว (P388) ของสารสกัดบริสุทธิ์จากต้นสามพันต้า

Test material	Final Drug Conc. ($\mu\text{g/ml}$)	Cell Count								% Growth at Day 4	
		Day 0			Day 1	Day 2	Day 3	Day 4			
		Cells /			5 sq	Flask	Mean	5 sq	Flask	Mean	
GC-1	30	-	5×10^4	-	-	-	-	235	4.70×10^6	4.23×10^6	100
		-	5×10^4	-	-	-	-	188	3.76×10^6		
GC-2	30	-	5×10^4	-	-	-	-	76	1.52×10^6	1.65×10^6	39.01
		-	5×10^4	-	-	-	-	89	1.78×10^6		
		-	5×10^4	-	-	-	-	277	5.54×10^6	4.82×10^6	113.95
		-	5×10^4	-	-	-	-	205	4.10×10^6		

หมายเหตุ สารสกัดหมายเลข GC-2 ของต้นสามพันต้า เมื่อถูกลายในตัวทำลายที่มีส่วนผสมของ DMSO, Chloroform และ media (DMSO: chloroform = 2:1) จะมีดักษณะเป็นคลอตอยู่

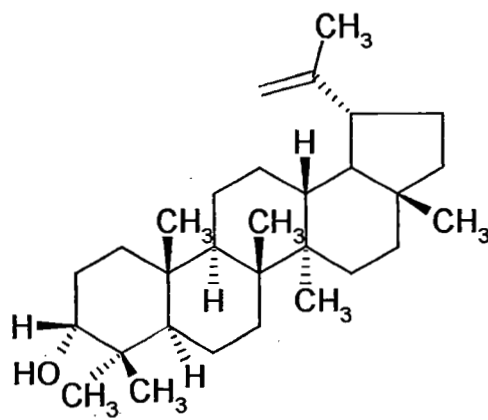
บทที่ 5

สรุปและอภิปรายผลการทดลอง และข้อเสนอแนะ

5.1 สรุปและอภิปรายผลการทดลอง

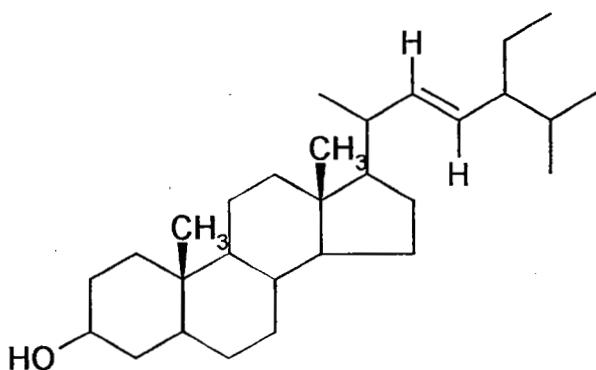
จากการหาสารบริสุทธิ์จากส่วนสักดีที่ active ให้สารบริสุทธิ์ 2 ตัว คือ CG-1 มีจุดหลอมเหลว $177\text{-}179^{\circ}\text{C}$ 0.0061 กรัม และ CG-2 มีจุดหลอมเหลว $137\text{-}139^{\circ}\text{C}$ 0.0012 กรัม

CG-1 จากข้อมูล IR ${}^1\text{H-NMR}$ และ ${}^{13}\text{C-NMR}$ spectra (ตารางที่ 4.27-4.29) ของ CG-1 มีค่าใกล้เคียงกับ Lupeol จึงสรุปได้ว่า CG-1 คือ Lupeol



Lupeol

CG-2 จากข้อมูล IR ${}^1\text{H-NMR}$ และ ${}^{13}\text{C-NMR}$ spectra (ตารางที่ 4.30-4.32) ของ CG-2 มีค่าใกล้เคียงกับ Stigmasterol จึงสรุปได้ว่า CG-2 คือ Stigmasterol



Stigmasterol

นำสารบริสุทธิ์ 2 ตัวนี้ไปทดสอบการออกฤทธิ์ต้านเซลล์มะเร็งลิวโคเมีย โดยการละลายใน DMSO แต่พบว่าสารทั้งสองชนิดละลายใน DMSO น้อยมากจึงปรับวิธีการละลายใหม่ ด้วยใช้ DMSO : Chloroform ในอัตราส่วน 2:1 พบว่าสาร Lupenol ละลายค่อนข้างดี ในขณะที่ Stigmasterol มีลักษณะ

เป็นสารแอนดรอย (Colloid) และยังพบว่าคุณสมบัติในการละลายมีส่วนเกี่ยวข้องกับฤทธิ์ยับยั้งการเจริญของเซลล์มะเร็ง กล่าวคือ Lupenol ที่ความเข้มข้น $30 \mu\text{g/ml}$ สามารถยับยั้งการเจริญของเซลล์มะเร็งเม็ดเลือดขาวได้มากกว่า 50% ส่วน Stigmasterol ซึ่งละลายได้น้อย ไม่พบฤทธิ์การยับยั้งเซลล์มะเร็งเม็ดเลือดขาว

5.2 ข้อเสนอแนะ

- 1) ควรหาเทคนิคอื่นๆ ที่ใช้แยกสารที่ไม่สามารถมองเห็นได้ในแสงยูวี
- 2) ควรนำต้นไม้ชนิดอื่นที่อยู่ในตระกูลเดียวกันมาทำการสกัดและตรวจสอบสารที่ได้ว่าเป็นสารประเภทเดียวกันหรือไม่
- 3) ในกรณีสาร Stigmasterol ที่ทำให้บริสุทธิ์จาก Crude extract (RT-HX) ที่ค่อนข้าง Active ($\text{ED}_{50} \sim 30 \mu\text{g/ml}$) แต่เมื่อทดสอบกับสาร Stigmasterol พบร่วม ไม่สามารถยับยั้งการเจริญของเซลล์มะเร็ง โดยไม่ละลายในตัวทำละลายตัวเดียวกับ Lupenol ซึ่งสมควรศึกษาการละลายที่ดีกว่า อาจจะพบฤทธิ์ที่ดีขึ้นด้วย
- 4) ควรนำสารบริสุทธิ์ที่ได้ไปศึกษาการออกฤทธิ์ทางชีวภาพอื่นๆ ที่นอกเหนือจากการออกฤทธิ์ที่นักหนึ่งจากการออกฤทธิ์ต้านเซลล์มะเร็ง เพื่อเป็นประโยชน์ในการแพทย์ต่อไป

บรรณานุกรม

1. เพ็ชร์ สิทธิสุนทรและคณะ. คู่มือปฏิบัติการเคมีอินทรีย์. พิมพ์ครั้งที่ 2. กรุงเทพฯ: สำนักพิมพ์แห่ง
จุฬาลงกรณ์มหาวิทยาลัย, 2543
 2. สมพงษ์ จันทร์โพธิศรี. เคมีอินทรีย์ 2. พิมพ์ครั้งที่ 2. กรุงเทพฯ: สำนักพิมพ์ศูนย์ส่งเสริมวิชาการ
 3. Meenakshi and other. Journal written in English Cancer Biology Unit. India, 2003
 4. Meenakshi, J. and Shanmugam, G., Cleistanthin A, a diphyllin glycoside from
Cleistanthus collinus is cytotoxic to PHA-stimulated (proliferating) human
lymphocytes, Drug Development Research 51, 3, 187, (2000)
 5. Pradheephuman, C.P. and Shanmugam, G., Anticancer potential of cleistanthin A
isotated from the tropical plant *Cleistanthus collinus* Oncology Research 11, 5,
225, (1999)
 6. Kumar, C.P., Pradheep, P.G. and Shunmugam G., Cleistanthin B cause G1 arrest and
induces apoptosis in mammalian cells Apoptosis 3, 6, 413, (1998)
 7. Prabhakarn, C., Pradheep, P., Panneerselvan, N., Rajesh, So and S. Shanmugam, G.
Cytotoxic and genotoxic effects of Cleistanthin B in normal and tumor cells
Mutagenesis, 11, 6, 553, (1996)
 8. Sastry, K.V. , Rao, E., Venkata, Buchanaw, J.G. and Sturgeon, R.J., Cleistanthoside B,
a diphyllin glycoside from *Cleistanthus patulus* heartwood Phytochemistry 26,
4, 1153, (1987)
 9. Latha W., Madhy; Rao, V.S. Sundara, Reddy K.K., and Sastry, K.N.N., Phenolic
constituents of karada (*Cleistanthus collinus*) Leather Science (Madras) 32, 3, 65,
(1985)
 10. Satyanarayana, P., Subrahmanyam, P., Rao, P. and Koteswara., Chemical constituents
of *Cleistanthus collinus* roots Indian Journal of Pharmaceutical Science, 46, 2,
95, (1984)
 11. Sastry, K.V., Rao, E. Venkata, Isotation and structure of cleistanthoside A Planta
Medica, 47, 4, 227, (1983)

12. Anjaneyulu, A.S.R., Ramaiah, P., Archuta, Row, L. Ramachandra, Venkateswarlu, R.,
Pelter, A. and ward, R.S., New lignans from the hartwood of *Cleistanthus collinus* Tetrahedron, 37, 21, 3641, (1981)
13. Anjaneyulu, A.S.R., Ramaiah, P., Atchuta, Row, L. and L. Ramachandra., Indian Journal of Chemistry, Section B : Organic Chemistry Including Medicinal Chemistry 15, 1, 10, (1977)
14. Anjaneyulu, A.S.R., Ramaiah, P., Atchuta, and Row, L. Ramachandra, New diphyllin glycoside from *Cleistanthus collinus* Phytochemistry, 14, 8, 1875, (1975)
15. Pegel, K.H., Candy, H.A. and Pakshong, Joan M., Pimarane diterpenes from *Cleistanthus schlchteri* Journal of Chemical Society (section C) : Organic 18, 2536, (1970)
16. Lakshmi, Mrs.T.G., Srimannaryana, G. and Rao, N.V. Subber., Current Science, 39,17,395, (1970)